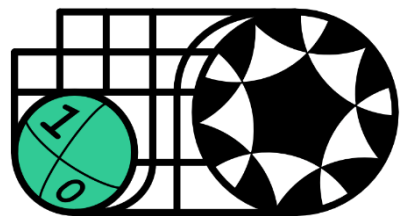


リーマンペンローズ不等式の一般化

泉 圭介

名古屋大 素粒子宇宙起源研究所
多元数理科学研究科



Ref: PTEP 2021 (2021) 8, 083E02

[Keisuke Izumi](#), Yoshimune Tomikawa, Tetsuya Shiromizu, Hirotaka Yoshino

PTEP 2023 (2023) 4, 043E01

[Keisuke Izumi](#), Yoshimune Tomikawa, Tetsuya Shiromizu, Hirotaka Yoshino

話の流れ

1、定理の主張

2、不等式の見積もり

3、証明の概要

4、スムーズ化

記法

抽象添字記法

多様体 (M, g) の接ベクトルを v^a と表す。 $v^a := v^\mu \left(\frac{\partial}{\partial x^\mu} \right)$

余接ベクトルは u_a と表す。 $u_a := u_\mu dx^\mu$

同様に、テンソルを $T^{abc\dots}_{de\dots}$ と書く。

同じ添え字が出てきたら、縮約を取る (アインシュタイン規約) T^{abc}_{db}

接ベクトルと余接ベクトルは計量により対応づける

接ベクトル v^a に対し余接ベクトル v_a は $v_a := g_{ab} v^b$

幾何学量の表記

R は曲率量を表す。添え字の数に応じて、リーマンテンソル、リッチテンソル、スカラー曲率を表す。

$$Riem := R^a_{bcd} \quad Ric := R_{ab} = R^c_{acb} \quad R = g^{ab} R_{ab}: \text{スカラー曲率}$$

第二基本形式 (外的曲率) は k_{ab} と書いて、平均曲率は $k := g^{ab} k_{ab}$ と書く

(3) R : 3次元多様体のスカラー曲率

(2) R : 2次元面のスカラー曲率 (3次元多様体に埋め込まれた面)

その他

テンソルの (計量) ノルム: $v_a^2 := v_a v^a, T_{ab}^2 := T_{ab} T^{ab}, \dots$

微分演算子の縮約: $\nabla^2 \phi := g^{ab} \nabla_a \nabla_b \phi$ (∇_a : 共変微分)

漸近平坦空間とADM質量

3次元多様体 (M, g) : 完備、滑らか、

def: 漸近平坦性 (Bondi, ver der Burg, Metzner (1962))

(M, g) が漸近平坦とは

$$\exists K \subset M$$

s.t.

- 1, K が1つの無限遠を持つ
- 2, K が $\mathbb{R}^3 \setminus B_1(0)$ と微分同相
- 3, 計量成分 g_{ij} が以下のようにふるまう

$$g_{ij} = \delta_{ij} + O(|x|^{-1})$$

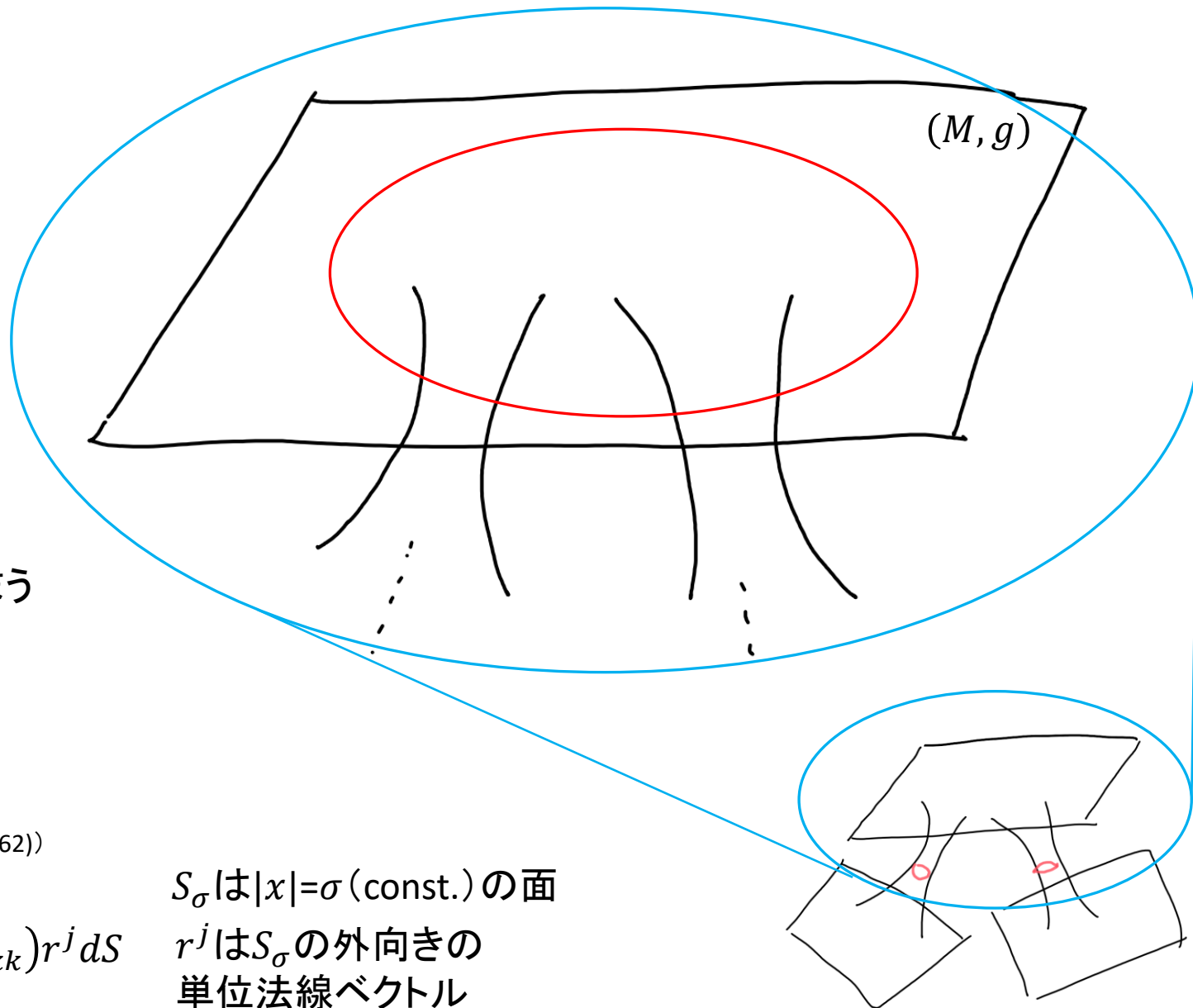
$$\partial_k g_{ij} = O(|x|^{-2})$$

$$\partial_l \partial_k g_{ij} = O(|x|^{-3})$$

def: ADM質量(エネルギー) (Arnowitt, Deser, Misner (1962))

$$m = \frac{1}{16\pi} \lim_{\sigma \rightarrow \infty} \int_{S_\sigma} (\partial_k g_{jk} - \partial_j g_{kk}) r^j dS$$

S_σ は $|x| = \sigma$ (const.) の面
 r^j は S_σ の外向きの
 単位法線ベクトル



リーマン・ペンローズ不等式

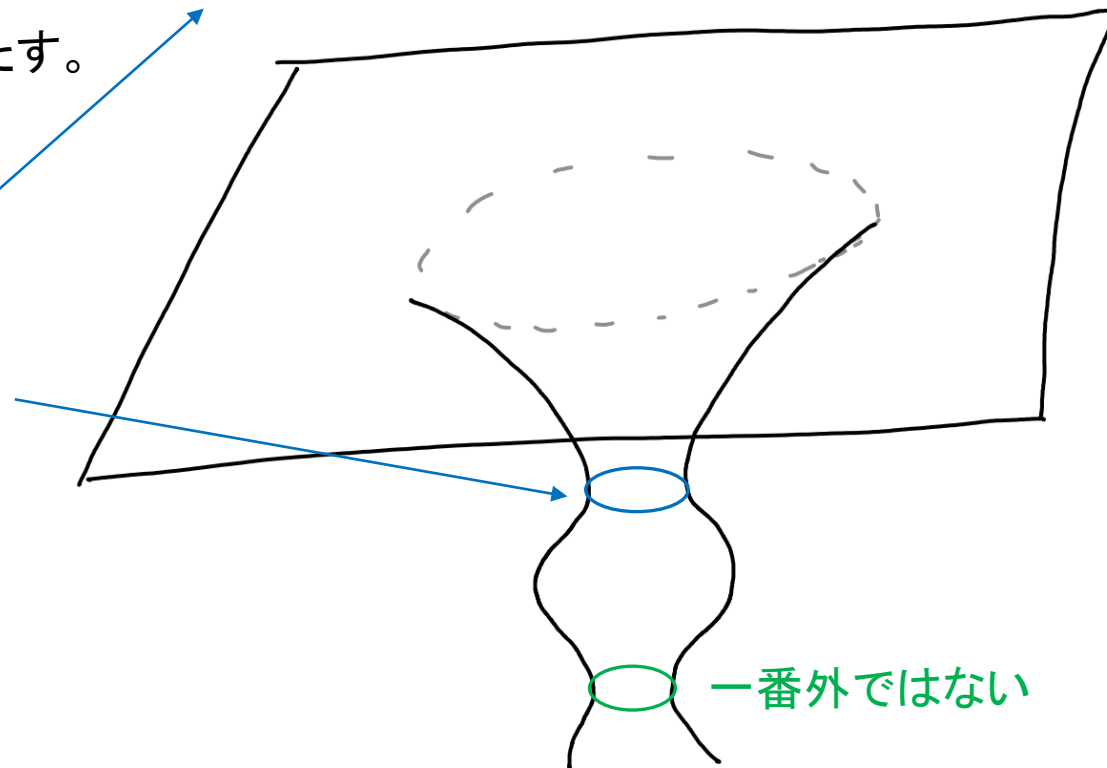
Thm: リーマン-ペンローズ不等式 (Huisken, Ilmanen(2001), Bray(2001))

3次元多様体 (M, g) : 完備、滑らか、非負曲率 ($R \geq 0$)、漸近平坦、ADM質量 m
 ∂M は漸近平坦な無限遠と一番外にある極小曲面 S からなる。

このとき、極小曲面 S の面積 A は $A \leq 4\pi (2m)^2$ を満たす。

等号成立は空間が
シュバルツシルト解
(球対称ブラックホール解)
の時間一定面に等しいときのみ

その面を取り囲む極小曲面が
 M 内に存在しない。



一番外ではない

リーマン・ペンローズ不等式の一般化

Thm: リーマン-ペンローズ不等式 (Huisken, Ilmanen(2001), Bray(2001))

3次元多様体 (M, g) : 完備、滑らか、非負曲率 ($R \geq 0$)、漸近平坦、ADM質量 m
 ∂M は漸近平坦な無限遠と一番外にある極小曲面 S からなる。

このとき、極小曲面 S の面積 A は $A \leq 4\pi (2m)^2$ を満たす。

等号成立は空間が
シュバルツシルト解
(球対称ブラックホール解)
の時間一定面に等しいときのみ

Thm: 重力検知面の面積不等式 (Izumi, Tomikawa, Shiromizu, Yoshino (2021))

3次元多様体 (M, g) : 完備、滑らか、非負曲率 ($R \geq 0$)、漸近平坦、ADM質量 m
 ∂M は漸近平坦な無限遠といくつかの境界 N からなる
すべての境界 N は、パラメータ α の重力検知面で囲われる

このとき、重力検知面の面積 A は $A \leq 4\pi \left(\frac{3+4\alpha}{1+2\alpha} m\right)^2$ を満たす。

+もう少し仮定が必要

等号成立は空間が
シュバルツシルト解
(球対称ブラックホール解)
の時間一定面に等しいときのみ

重力検知面

def: 重力検知面 (Izumi, Tomikawa, Shiromizu, Yoshino (2021))

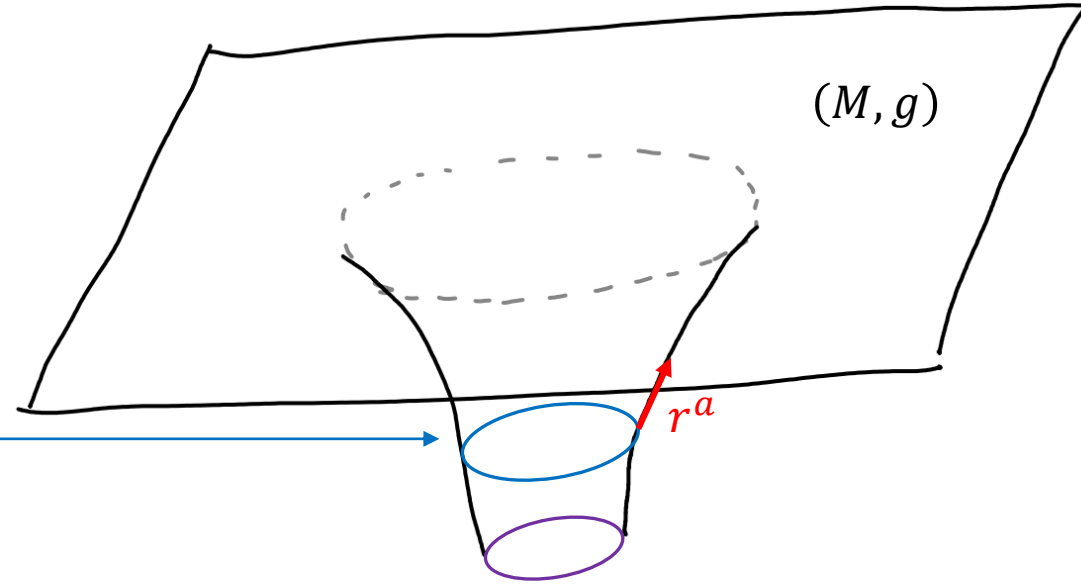
(M, g) に埋め込まれた滑らかな閉曲面 S の近傍に
逆平均曲率流で葉層構造を取り、 S のいたるところで

$$r^a D_a k \geq \alpha k^2 \quad \text{かつ} \quad k > 0$$

が満たされるとき、 S を**パラメータ α の重力検知面**と呼ぶ。

ここで、 r^a は S の単位法ベクトル、 D_a は (M, g) の共変微分、

α は $\alpha > -\frac{1}{2}$ を満たすある定数である。(k は各葉層の平均曲率。)



Thm: 重力検知面の面積不等式 (Izumi, Tomikawa, Shiromizu, Yoshino (2021))

3次元多様体 (M, g) : 完備、滑らか、非負曲率 ($R \geq 0$)、漸近平坦、ADM質量 m

∂M は漸近平坦な無限遠といくつかの境界 N からなる

すべての境界 N は、**パラメータ α の重力検知面**で囲われる

このとき、**重力検知面**の面積 A は $A \leq 4\pi \left(\frac{3+4\alpha}{1+2\alpha} m \right)^2$ を満たす。

+もう少し仮定が必要

等号成立は空間が
シュバルツシルト解
(球対称ブラックホール解)
の時間一定面に等しいときのみ

重力検知面

def: 精査された重力検知面 (Izumi, Tomikawa, Shiromizu, Yoshino (2023))

(M, g) に埋め込まれた滑らかな閉曲面 S のいたるところで

$${}^{(2)}R + 2kD^2k^{-1} \geq \left(2\alpha + \frac{3}{2}\right)k^2 \quad \text{かつ} \quad k > 0$$

が満たされるとき、 S を**パラメータ α の重力検知面**と呼ぶ。

ここで、 r^a は S の単位法ベクトル、 D_a は S の共変微分、

${}^{(2)}R$ は S のスカラー曲率、 α は $\alpha > -\frac{1}{2}$ を満たすある定数である。

(k は平均曲率。)

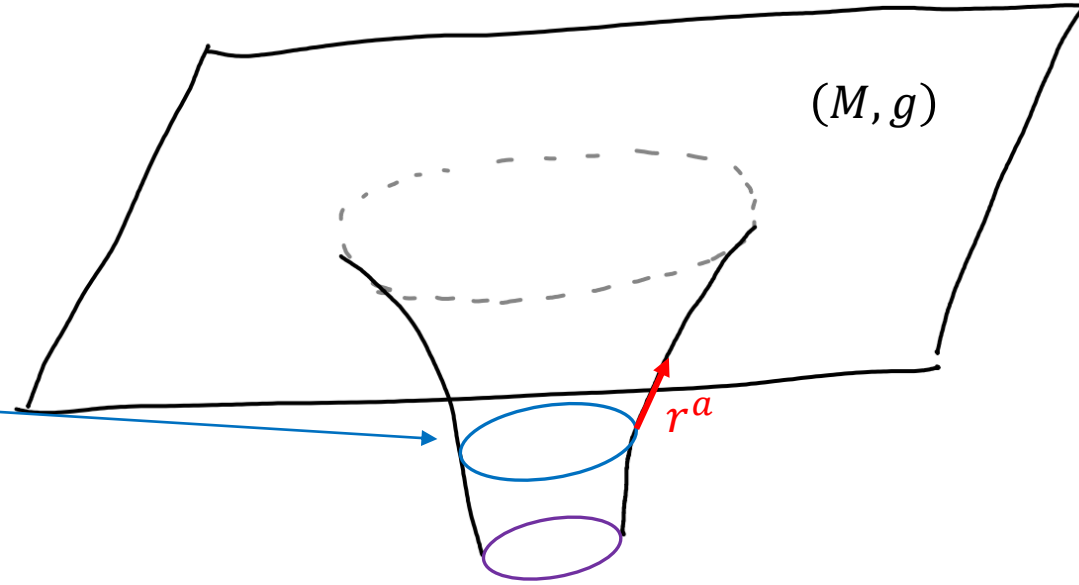
Thm: 重力検知面の面積不等式 (Izumi, Tomikawa, Shiromizu, Yoshino (2021))

3次元多様体 (M, g) : 完備、滑らか、非負曲率 ($R \geq 0$)、漸近平坦、ADM質量 m

∂M は漸近平坦な無限遠といくつかの境界 N からなる

すべての境界 N は、**パラメータ α の重力検知面**で囲われる

このとき、**重力検知面**の面積 A は $A \leq 4\pi \left(\frac{3+4\alpha}{1+2\alpha} m\right)^2$ を満たす。



+もう少し仮定が必要

等号成立は空間が
シュバルツシルト解
(球対称ブラックホール解)
の時間一定面に等しいときのみ

パラメータ α を持つ面の位置

def: 重力検知面

$$r^a D_a k \geq \alpha k^2 \quad \text{かつ} \quad k > 0 \quad \Rightarrow \quad \alpha \rightarrow \infty \text{は、} k \rightarrow 0 \text{に対応。} \quad \Rightarrow \quad \alpha \rightarrow \infty \text{は、極小曲面。}$$

↑
有界

$$r^a D_a k = -\varphi^{-1} D^2 \varphi - \frac{1}{2} {}^{(3)}R + \frac{1}{2} {}^{(2)}R - \frac{1}{2} (k^2 + k_{ab} k^{ab}).$$

D_a は面上の誘導計量によるの共変微分

def: 漸近平坦性

$|x| = \text{const.}$ 面上で

$$\begin{aligned} g_{ij} &= \delta_{ij} + O(|x|^{-1}) \\ \partial_k g_{ij} &= O(|x|^{-2}) \\ \partial_l \partial_k g_{ij} &= O(|x|^{-3}) \end{aligned}$$



$$k = \frac{2}{|x|} + O(|x|^{-2})$$



$\alpha \rightarrow -\frac{1}{2}$ は、無限遠の球面。

$$r^a D_a k = -\frac{1}{|x|^2} + O(|x|^{-3})$$

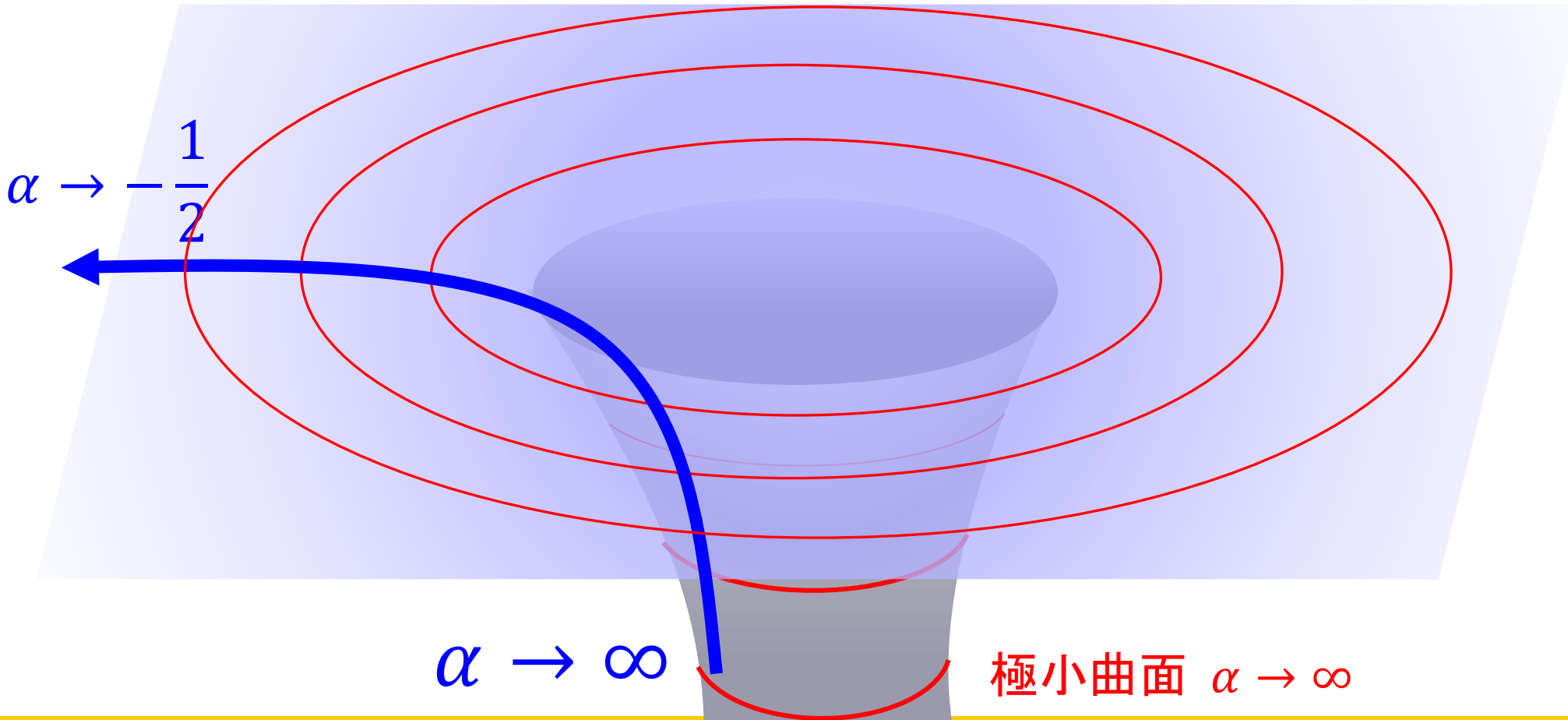
パラメータ α を持つ面の位置

def: 重力検知面

$$r^a D_a k \geq \alpha k^2 \quad \text{かつ} \quad k > 0$$

$\alpha \rightarrow \infty$ は、極小曲面。

$\alpha \rightarrow -\frac{1}{2}$ は、無限遠の球面。



リーマン・ペンローズ不等式の一般化

$\alpha \rightarrow \infty$ は、極小曲面。
 $\left(\frac{3+4\alpha}{1+2\alpha} m\right)^2 \rightarrow (2m)^2$
 $\alpha \rightarrow -\frac{1}{2}$ は、無限遠の球面。
 $\left(\frac{3+4\alpha}{1+2\alpha} m\right)^2 \rightarrow \infty$

Thm: リーマン-ペンローズ不等式 (Huisken, Ilmanen(2001), Bray(2001))

3次元多様体 (M, g) : 完備、滑らか、非負曲率 ($R \geq 0$)、漸近平坦、ADM質量 m
 ∂M は漸近平坦な無限遠と一番外にある極小曲面 S からなる。
このとき、極小曲面 S の面積 A は $A \leq 4\pi (2m)^2$ を満たす。

等号成立は空間が
シュバルツシルト解
(球対称ブラックホール解)
の時間一定面に等しいときのみ

Thm: 重力検知面の面積不等式 (Izumi, Tomikawa, Shiromizu, Yoshino (2021))

3次元多様体 (M, g) : 完備、滑らか、非負曲率 ($R \geq 0$)、漸近平坦、ADM質量 m
 ∂M は漸近平坦な無限遠といくつかの境界 N からなる
すべての境界 N は、パラメータ α の重力検知面で囲われる
このとき、重力検知面の面積 A は $A \leq 4\pi \left(\frac{3+4\alpha}{1+2\alpha} m\right)^2$ を満たす。

+もう少し仮定が必要

リーマン・ペンローズ不等式の一般化

高次元への拡張

Thm: リーマン-ペンローズ不等式 (Huisken, Ilmanen(2001), Bray(2001))

3次元多様体 (M, g) : 完備、滑らか、非負曲率 $(R \geq 0)$ 、漸近平坦、ADM質量 m
 n 次元 $(3 \leq n \leq 7)$ ∂M は漸近平坦な無限遠と一番外にある極小曲面 S からなる。

このとき、極小曲面 S の面積 A は $A \leq 4\pi (2m)^2$ を満たす。

$$A \leq \omega_{n-1} (2m)^{\frac{n-1}{n-2}} \quad (\text{Bray, Lee(2009)})$$

ω_{n-1} : 単位 $(n-1)$ 次元球面の表面積

Thm: 重力検知面の面積不等式 (Izumi, Tomikawa, Shiromizu, Yoshino (2021))

3次元多様体 (M, g) : 完備、滑らか、非負曲率 $(R \geq 0)$ 、漸近平坦、ADM質量 m
 n 次元 $(3 \leq n \leq 7)$ ∂M は漸近平坦な無限遠といくつかの境界 N からなる
すべての境界 N は、パラメータ α の重力検知面で囲われる

このとき、重力検知面の面積 A は $A \leq 4\pi \left(\frac{3+4\alpha}{1+2\alpha} m\right)^2$ を満たす。

$$A \leq \omega_{n-1} \left(\frac{n+2(n-1)\alpha}{1+(n-1)\alpha} m\right)^{\frac{n-1}{n-2}}$$

(Izumi, Tomikawa, Shiromizu, Yoshino (2023))

$\alpha \rightarrow \infty$ は、極小曲面。

$$\left(\frac{3+4\alpha}{1+2\alpha} m\right)^2 \rightarrow (2m)^2$$

$\alpha \rightarrow -\frac{1}{2}$ は、無限遠の球面。

$$\left(\frac{3+4\alpha}{1+2\alpha} m\right)^2 \rightarrow \infty$$

等号成立は空間が
シュバルツシルト解
(球対称ブラックホール解)
の時間一定面に等しいときのみ

+もう少し仮定が必要

話の流れ

1、定理の主張

2、不等式の見積もり

3、証明の概要

4、スムーズ化

逆平均曲率流

def: 逆平均曲率流 (Geroch (1973))

3次元多様体 (M, g) に埋め込まれた
いたるところで平均曲率 k が非負の閉曲面 S からの
逆平均曲率流による葉層構造とは

葉層構造 $(S_t)_{0 \leq t < T}$

s.t. 1、 $S_0 = S$

2、 S_t の面積要素 dA_t の直交方向の速度を φ と書いておくと

$$\mathcal{L}_t dA_t = k\varphi dA_t = dA_t$$

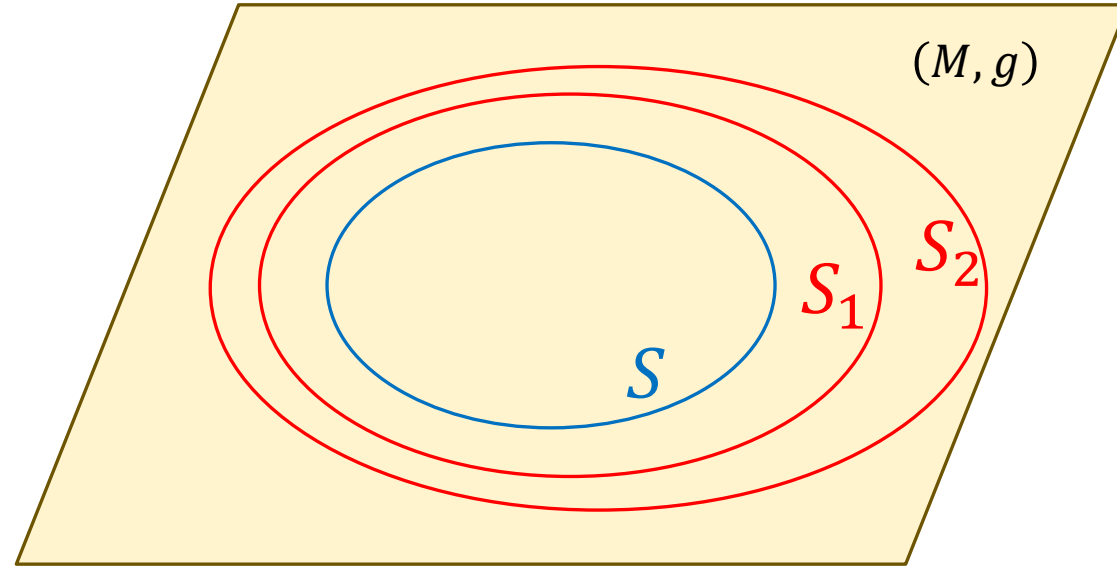
となるように φ をとる

ただし、 $\mathcal{L}_t dA_t$ は S_t に直交する束に沿った dA_t のリー微分

このとき

$$ds^2 = \varphi^2 dt^2 + g_{ij} dx^i dx^j$$

という座標が張れて、 $k\varphi = 1$ である



逆平均曲率流に伴う、面積 A_t の変化

$$\frac{d}{dt} A_t = \frac{d}{dt} \int_S dA_t = \int_S \mathcal{L}_t dA_t = \int_S k\varphi dA_t = \int_S dA_t = A_t$$

$$A_t = A_0 \exp(t)$$

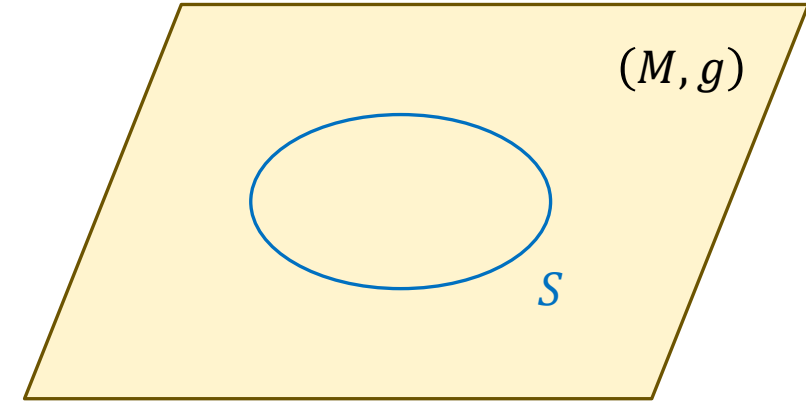
局所エネルギー (Geroch (1973))

$A(S)$: S の面積

def: Geroch質量(エネルギー)

3次元多様体 (M, g) に埋め込まれた閉曲面 S の Geroch エネルギー $E(S)$

$$E(S) := \frac{A^{1/2}(S)}{64\pi^{3/2}} \int_S (2 \overset{(2)}{R} - k^2) dA \quad \overset{(2)}{R}: S \text{ のスカラー曲率}$$



1. Geroch質量(エネルギー)は S を空間無限遠に飛ばす極限で ADM質量(エネルギー)に一致する。

2. Geroch質量(エネルギー)の増大則

非負曲率 ($\overset{(3)}{R} \geq 0$) の3次元多様体 (M, g) の Gerochエネルギーは逆平均曲率流による流れで増大する。

$$\begin{aligned} \frac{d}{dt} E(S_t) &= \frac{d}{dt} \left(\frac{A^{1/2}(S_t)}{64\pi^{3/2}} \int_{S_t} (2 \overset{(2)}{R} - k^2) dA \right) \\ &= \frac{A^{1/2}(S_t)}{64\pi^{3/2}} \int_{S_t} \left(2\varphi^{-1} \mathcal{D}^2 \varphi + \tilde{k}_{ab} \tilde{k}^{ab} + \overset{(3)}{R} \right) dA \geq 0 \end{aligned}$$

部分積分して $\tilde{k}_{ab} := k_{ab} - \frac{1}{2} k g_{ab}$
 $\varphi^{-2} |\mathcal{D}\varphi|^2 \geq 0$ \mathcal{D}_a は S_t の共変微分

・逆平均曲率流で面のトポロジーは変化しない

$$\frac{d}{dt} \int_S \overset{(2)}{R} dA = 0$$

・幾何学的恒等式

$$2\mathcal{L}_t k = -2\varphi^{-1} \mathcal{D}^2 \varphi - \overset{(3)}{R} + \overset{(2)}{R} - (k^2 + k_{ab} k^{ab})$$

逆平均曲率流での面積の変化(前のスライド)

$$\frac{d}{dt} A(S_t) = A(S_t) \quad \mathcal{L}_t dA_t = dA_t$$

不等式の見積もり (3次元の場合のみ) (Jang & Wald (1977))

Geroch質量(エネルギー)

$$E(S) := \frac{A^{1/2}(S)}{64\pi^{3/2}} \int_S (2^{(2)}R - k^2) dA$$

2. Geroch質量(エネルギー)の増大則

$$E(S_0) \leq E(S_1) \leq \dots \leq E(S_\infty) \text{ (} = \text{) ADM質量 } m$$

1. Geroch質量(エネルギー)は S を空間無限遠に飛ばす極限でADM質量(エネルギー)に一致する。

不等式の見積もり (3次元の場合のみ) (Jang & Wald (1977))

Geroch質量(エネルギー)

$$E(S) := \frac{A^{1/2}(S)}{64\pi^{3/2}} \int_S ({}^{(2)}R - k^2) dA$$

2. Geroch質量(エネルギー)の増大則

$$E(S_0) \leq E(S_1) \leq \dots \leq E(S_\infty) \text{ (=) ADM質量 } m$$

S_0 が極小曲面($k=0$)かつ
 S^2 トポロジーであったなら

1. Geroch質量(エネルギー)は S を空間無限遠に飛ばす極限で
ADM質量(エネルギー)に一致する。

$$E(S_0) = \frac{A^{1/2}(S_0)}{64\pi^{3/2}} \int_S ({}^{(2)}R - k^2) dA \text{ (=) } \frac{A^{1/2}(S_0)}{4\pi^{1/2}}$$

$$\begin{aligned} \text{極小曲面} &\rightarrow k = 0 \\ S^2 &\rightarrow \int_S ({}^{(2)}R) dA = 8\pi \end{aligned}$$

極小曲面から無限遠球面への逆平均曲率流があったとすると

$$\frac{A^{1/2}(S_0)}{4\pi^{1/2}} \leq m \quad \Rightarrow \quad A(S_0) \leq 4\pi(2m)^2$$

不等式の見積もり (3次元の場合のみ) (Jang & Wald (1977))

Geroch質量(エネルギー)

$$E(S) := \frac{A^{1/2}(S)}{64\pi^{3/2}} \int_S (2^{(2)}R - k^2) dA$$

2. Geroch質量(エネルギー)の増大則

$$E(S_0) \leq E(S_1) \leq \dots \leq E(S_\infty) \text{ (=) ADM質量 } m$$

S_0 が極小曲面($k=0$)かつ
 S^2 トポロジーであったなら

$$E(S_0) = \frac{A^{1/2}(S_0)}{64\pi^{3/2}} \int_S (2^{(2)}R - k^2) dA \text{ (=) } \frac{A^{1/2}(S_0)}{4\pi^{1/2}}$$

$$\begin{aligned} \text{極小曲面} &\rightarrow k = 0 \\ S^2 &\rightarrow \int_S {}^{(2)}R dA = 8\pi \end{aligned}$$

極小曲面から無限遠球面への逆平均曲率流があったとすると

$$\frac{A^{1/2}(S_0)}{4\pi^{1/2}} \leq m \quad \Rightarrow \quad A(S_0) \leq 4\pi(2m)^2$$

1. Geroch質量(エネルギー)は S を空間無限遠に飛ばす極限で
ADM質量(エネルギー)に一致する。

一般にはこのような逆平均曲率流は存在するとは限らない

HuiskenとIlmanenはLevel Setsの手法を用い逆平均曲率流をジャンプする流れに一般化した。任意の空間でジャンプする流れを書くことができることを示し、証明が完成した。(2001)

不等式の見積もり (3次元の場合のみ) (Izumi, Tomikawa, Shiromizu, Yoshino (2021))

Geroch質量(エネルギー)

$$E(S) := \frac{A^{1/2}(S)}{64\pi^{3/2}} \int_S (2^{(2)}R - k^2) dA$$

2. Geroch質量(エネルギー)の増大則

$$E(S_0) \leq E(S_1) \leq \dots \leq E(S_\infty) \text{ (} = \text{) ADM質量 } m$$

S_0 が重力検知面であったとき

$$r^a D_a k \geq \alpha k^2 \quad \text{かつ} \quad k > 0$$

1. Geroch質量(エネルギー)は S を空間無限遠に飛ばす極限でADM質量(エネルギー)に一致する。

$${}^{(2)}R = 2r^a D_a k + 2\varphi^{-1} \mathcal{D}^2 \varphi + {}^{(3)}R + (k^2 + k_{ab} k^{ab})$$

\mathcal{D}_a は S_0 の誘導計量による共変微分

不等式の見積もり (3次元の場合のみ) (Izumi, Tomikawa, Shiromizu, Yoshino (2021))

Geroch質量(エネルギー)

$$E(S) := \frac{A^{1/2}(S)}{64\pi^{3/2}} \int_S ({}^{(2)}R - k^2) dA$$

2. Geroch質量(エネルギー)の増大則

$$E(S_0) \leq E(S_1) \leq \dots \leq E(S_\infty) \text{ (} = \text{) ADM質量 } m$$

S_0 が重力検知面であったとき

$$r^a D_a k \geq \alpha k^2 \quad \text{かつ} \quad k > 0$$

1. Geroch質量(エネルギー)は S を空間無限遠に飛ばす極限でADM質量(エネルギー)に一致する。

$$\begin{aligned} \int_S {}^{(2)}R dA &= \int_S [2r^a D_a k + 2\varphi^{-1} \mathcal{D}^2 \varphi + {}^{(3)}R + (k^2 + k_{ab} k^{ab})] dA & \mathcal{D}_a \text{は } S_0 \text{の誘導計量による共変微分} \\ &\geq \int_S \left[\left(2\alpha + \frac{3}{2}\right) k^2 + 2\varphi^{-2} |\mathcal{D}_a \varphi|^2 + {}^{(3)}R + \tilde{k}_{ab} \tilde{k}^{ab} \right] dA & \tilde{k}_{ab} := k_{ab} - \frac{1}{2} k g_{ab} \\ &\geq \int_S \left(2\alpha + \frac{3}{2}\right) k^2 dA > 0 \end{aligned}$$

不等式の見積もり (3次元の場合のみ) (Izumi, Tomikawa, Shiromizu, Yoshino (2021))

Geroch質量(エネルギー)

$$E(S) := \frac{A^{1/2}(S)}{64\pi^{3/2}} \int_S ({}^{(2)}R - k^2) dA$$

2. Geroch質量(エネルギー)の増大則

$$E(S_0) \leq E(S_1) \leq \dots \leq E(S_\infty) \quad (=) \quad \text{ADM質量 } m$$

S_0 が重力検知面であったとき

$$r^a D_a k \geq \alpha k^2 \quad \text{かつ} \quad k > 0$$

1. Geroch質量(エネルギー)は S を空間無限遠に飛ばす極限でADM質量(エネルギー)に一致する。

$$\begin{aligned} 8\pi \int_S ({}^{(2)}R) dA &= \int_S [2r^a D_a k + 2\varphi^{-1} \mathcal{D}^2 \varphi + ({}^{(3)}R + (k^2 + k_{ab} k^{ab})] dA & \mathcal{D}_a \text{は } S_0 \text{の誘導計量による共変微分} \\ &\geq \int_S \left[\left(2\alpha + \frac{3}{2}\right) k^2 + 2\varphi^{-2} |\mathcal{D}_a \varphi|^2 + ({}^{(3)}R + \tilde{k}_{ab} \tilde{k}^{ab}) \right] dA & \tilde{k}_{ab} := k_{ab} - \frac{1}{2} k g_{ab} \\ &\geq \int_S \left(2\alpha + \frac{3}{2}\right) k^2 dA > 0 & \int_S k^2 dA \leq \frac{16\pi}{4 + 3\alpha} \end{aligned}$$

不等式の見積もり (3次元の場合のみ)

(Izumi, Tomikawa, Shiromizu, Yoshino (2021))

Geroch質量(エネルギー)

$$E(S) := \frac{A^{1/2}(S)}{64\pi^{3/2}} \int_S (2^{(2)}R - k^2) dA$$

2. Geroch質量(エネルギー)の増大則

$$E(S_0) \leq E(S_1) \leq \dots \leq E(S_\infty) \quad (=) \quad \text{ADM質量 } m$$

S_0 が重力検知面であったとき
 $r^a D_a k \geq \alpha k^2$ かつ $k > 0$

$$E(S_0) := \frac{A^{1/2}(S_0)}{64\pi^{3/2}} \int_{S_0} (2^{(2)}R - k^2) dA \geq \frac{1+2\alpha}{3+4\alpha} \left(\frac{A(S_0)}{4\pi} \right)^{1/2} \Rightarrow A(S_0) \leq 4\pi \left(\frac{3+4\alpha}{1+2\alpha} m \right)^2$$

$$8\pi = \int_S (2^{(2)}R) dA = \int_S [2r^a D_a k + 2\varphi^{-1} \mathcal{D}^2 \varphi + (3)R + (k^2 + k_{ab} k^{ab})] dA \quad \mathcal{D}_a \text{は } S_0 \text{の誘導計量による共変微分}$$

$$\geq \int_S \left[\left(2\alpha + \frac{3}{2}\right) k^2 + 2\varphi^{-2} |\mathcal{D}_a \varphi|^2 + (3)R + \tilde{k}_{ab} \tilde{k}^{ab} \right] dA \quad \tilde{k}_{ab} := k_{ab} - \frac{1}{2} k g_{ab}$$

$$\geq \int_S \left(2\alpha + \frac{3}{2}\right) k^2 dA > 0 \quad \int_S k^2 dA \leq \frac{16\pi}{4+3\alpha}$$

話の流れ

1、定理の主張

2、不等式の見積もり

3、証明の概要

4、スムーズ化

リーマン・ペンローズ不等式の一般化

極小曲面が非連結の場合にも適用可能

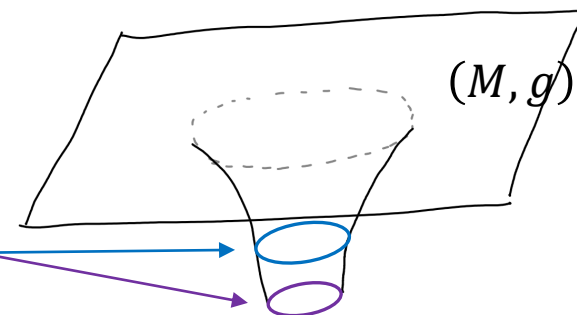
Thm: リーマン-ペンローズ不等式 (Huisken, Ilmanen(2001), Bray(2001)) 高次元化 (Bray, Lee(2009))

3次元多様体 (M, g) : 完備、滑らか、非負曲率 ($R \geq 0$)、漸近平坦、ADM質量 m
 ∂M は漸近平坦な無限遠と一番外にある極小曲面 S からなる。
このとき、極小曲面 S の面積 A は $A \leq 4\pi (2m)^2$ を満たす。

等号成立は空間がシュバルツシルト解 (球対称ブラックホール解) の時間一定面に等しいときのみ

Thm: 重力検知面の面積不等式 (Izumi, Tomikawa, Shiromizu, Yoshino (2021))

3次元多様体 (M, g) : 完備、滑らか、非負曲率 ($R \geq 0$)、漸近平坦、ADM質量 m
 ∂M は漸近平坦な無限遠といくつかの境界 N からなる
すべての境界 N は、パラメータ α の重力検知面で囲われる



以下のような面が存在しない

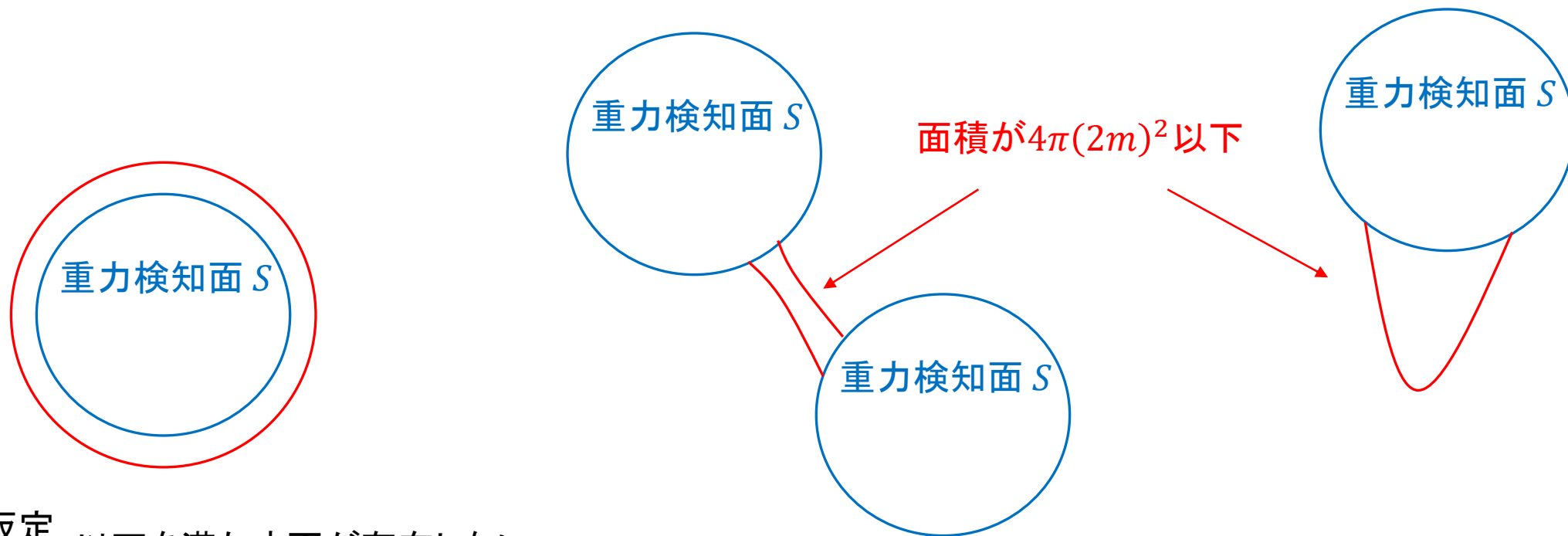
+もう少し仮定が必要

- 1、重力検知面の外に存在する境界を持たないコンパクトな極小曲面
- 2、重力検知面に境界を持ち、面積が $4\pi(2m)^2$ 以下になる極小曲面

このとき、重力検知面の面積 A は $A \leq 4\pi \left(\frac{3+4\alpha}{1+2\alpha} m\right)^2$ を満たす。

等号成立は空間がシュバルツシルト解 (球対称ブラックホール解) の時間一定面に等しいときのみ

新たな仮定の意味

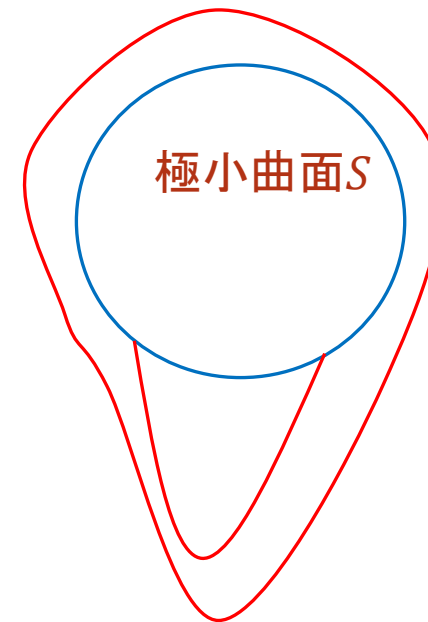
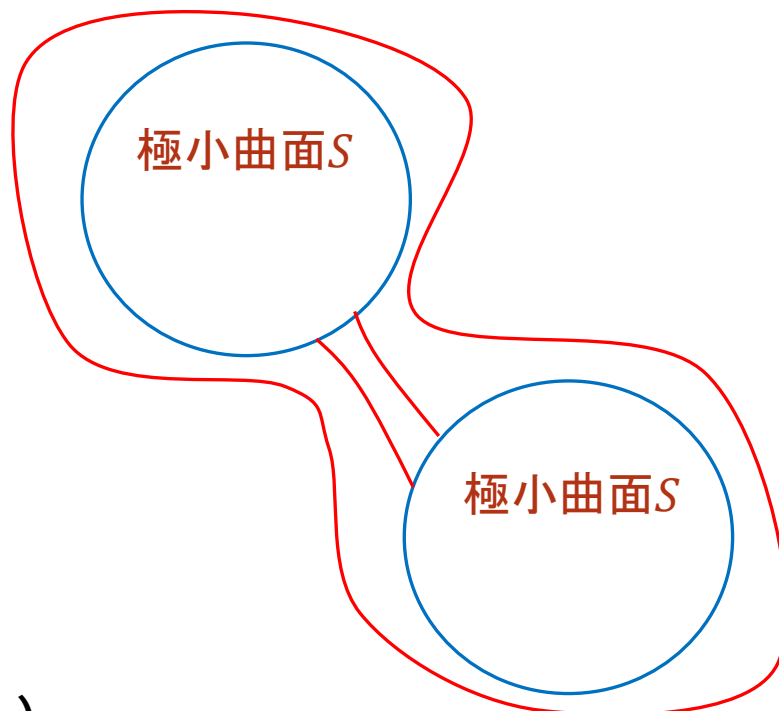
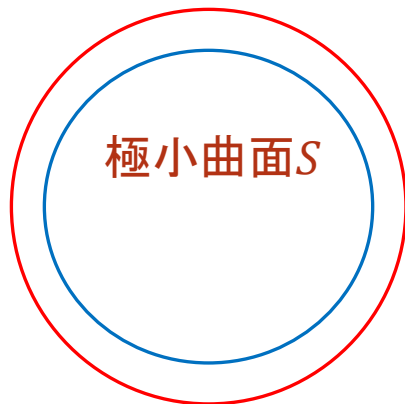


新たな仮定 以下を満たす面が存在しない

- 1、重力検知面の外に存在する境界を持たないコンパクトな極小曲面
- 2、重力検知面に境界を持ち、面積が $4\pi(2m)^2$ 以下になる極小曲面

上で示した赤色のような極小曲面が存在しない

リーマンペンローズ不等式の場合との対応



新たな仮定 以下を満たす面が存在しない

- 1、重力検知面の外に存在する境界を持たないコンパクトな極小曲面
- 2、重力検知面に境界を持ち、面積が $4\pi(2m)^2$ 以下になる極小曲面

リーマンペンローズ不等式の場合の仮定

一番外にある極小曲面S

上で示した赤色のような極小曲面が存在しない

リーマン・ペンローズ不等式の一般化

Thm: リーマン-ペンローズ不等式 (Huisken, Ilmanen(2001), Bray(2001)) **高次元化** (Bray, Lee(2009))

極小曲面が非連結
の場合にも適用可能

3次元多様体 (M, g) : 完備、滑らか、非負曲率 ($R \geq 0$)、漸近平坦、ADM質量 m
 ∂M は漸近平坦な無限遠と一番外にある極小曲面 S からなる。

このとき、極小曲面 S の面積 A は $A \leq 4\pi (2m)^2$ を満たす。

等号成立は空間が
シュバルツシルト解
(球対称ブラックホール解)
の時間一定面に等しいときのみ

Thm: 重力検知面の面積不等式 (Izumi, Tomikawa, Shiromizu, Yoshino (2021))

3次元多様体 (M, g) : 完備、滑らか、非負曲率 ($R \geq 0$)、漸近平坦、ADM質量 m

∂M は漸近平坦な無限遠といくつかの境界 N からなる
すべての境界 N は、パラメータ α の重力検知面で囲われる

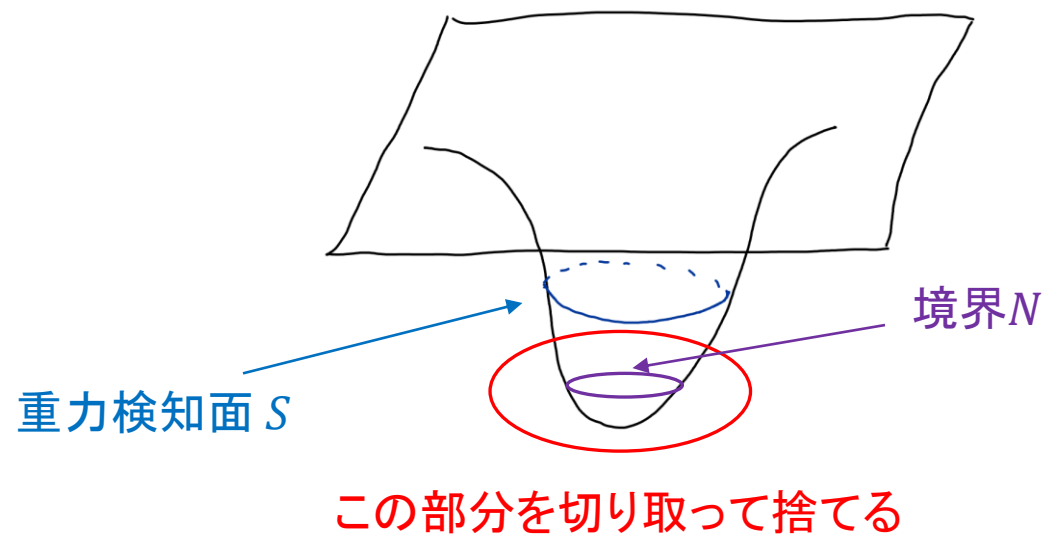
以下のような面が存在しない

- 1、重力検知面の外に存在する境界を持たないコンパクトな極小曲面
- 2、重力検知面に境界を持ち、面積が $4\pi(2m)^2$ 以下になる極小曲面

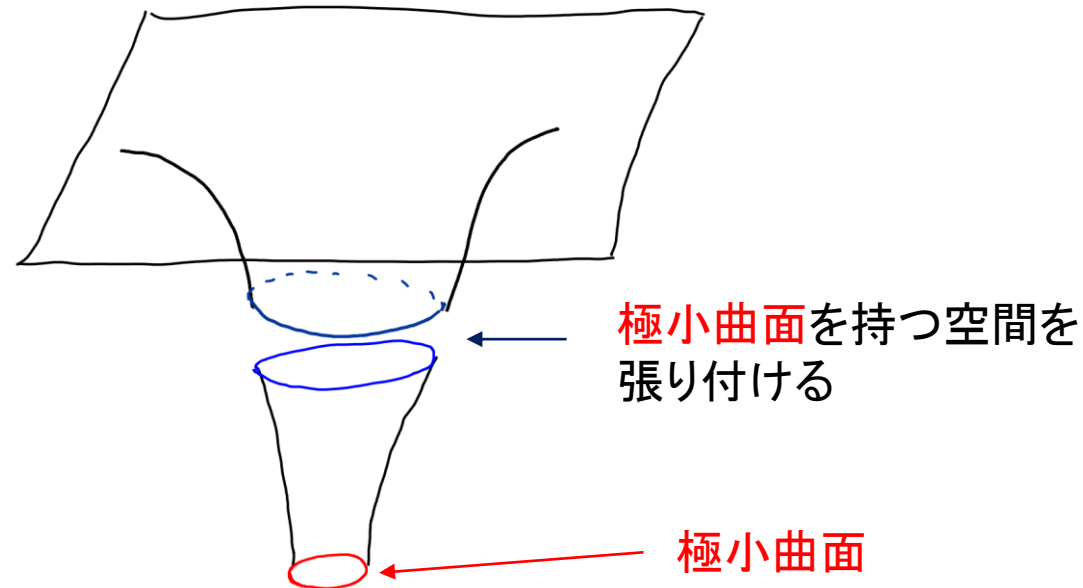
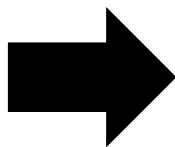
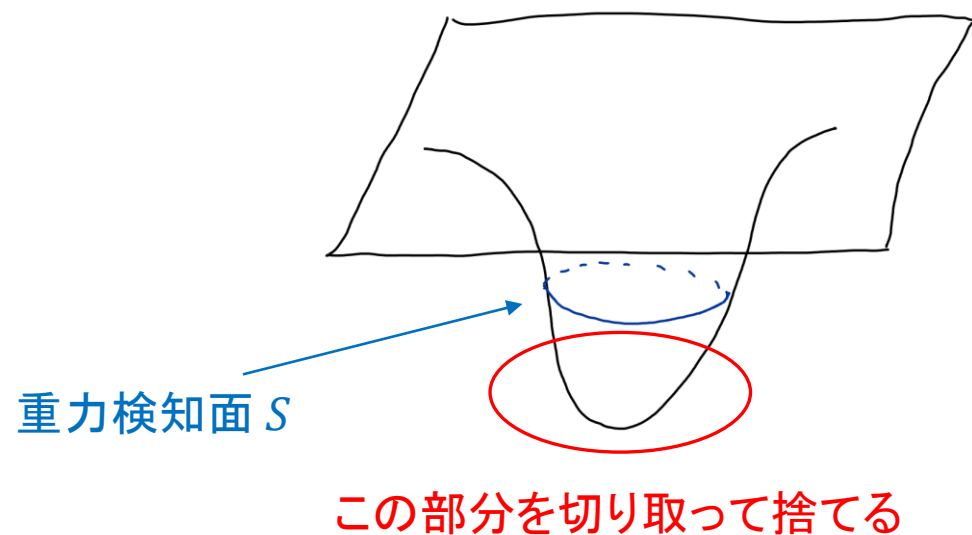
このとき、重力検知面の面積 A は $A \leq 4\pi \left(\frac{3+4\alpha}{1+2\alpha} m\right)^2$ を満たす。

等号成立は空間が
シュバルツシルト解(球対称ブラックホール解)
の時間一定面に等しいときのみ

証明の概要

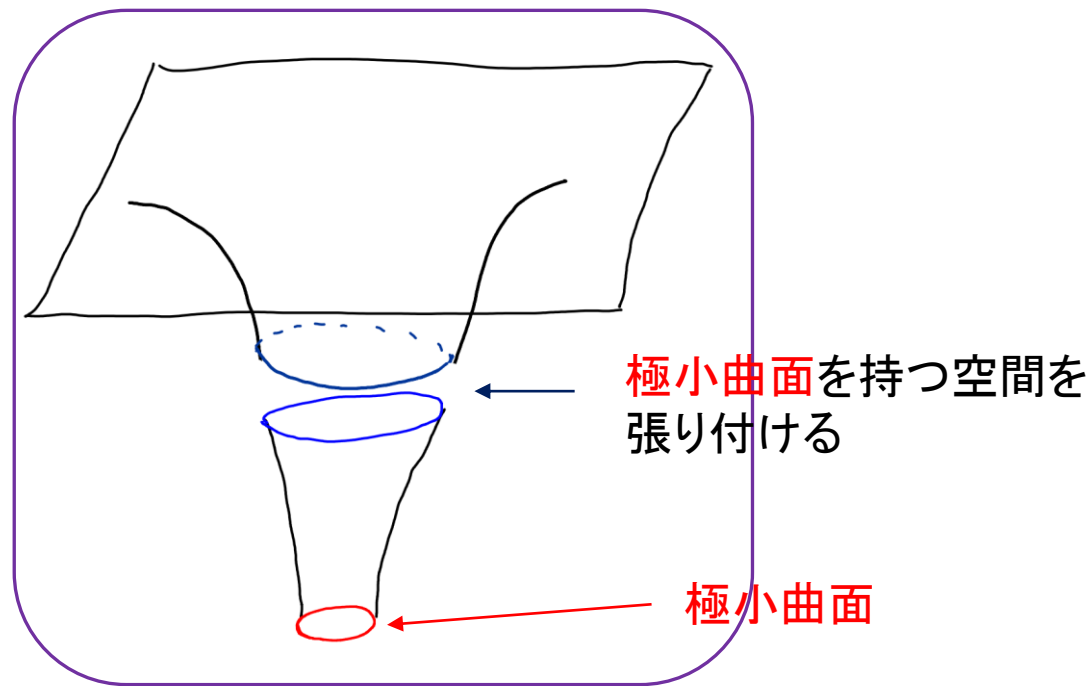
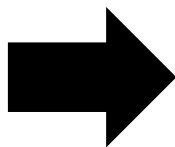
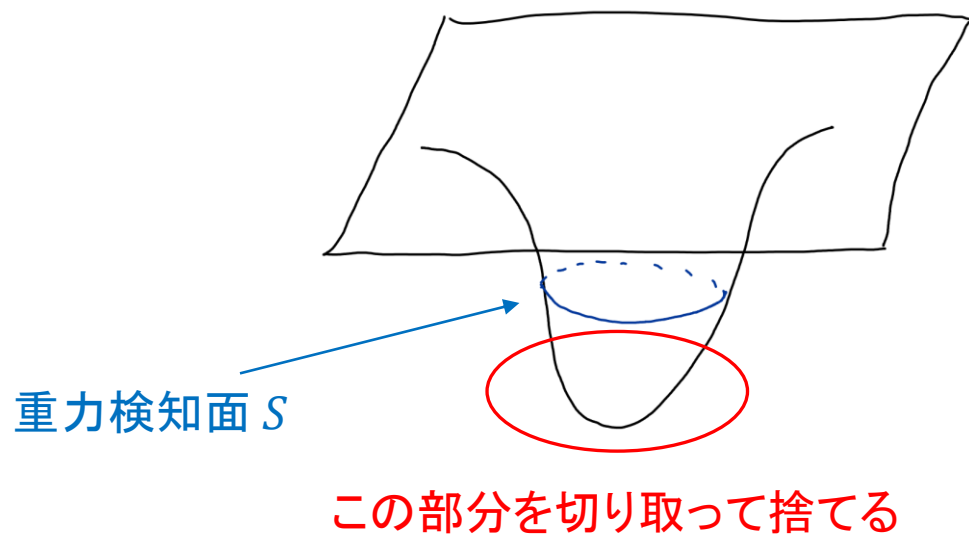


証明の概要



証明の概要

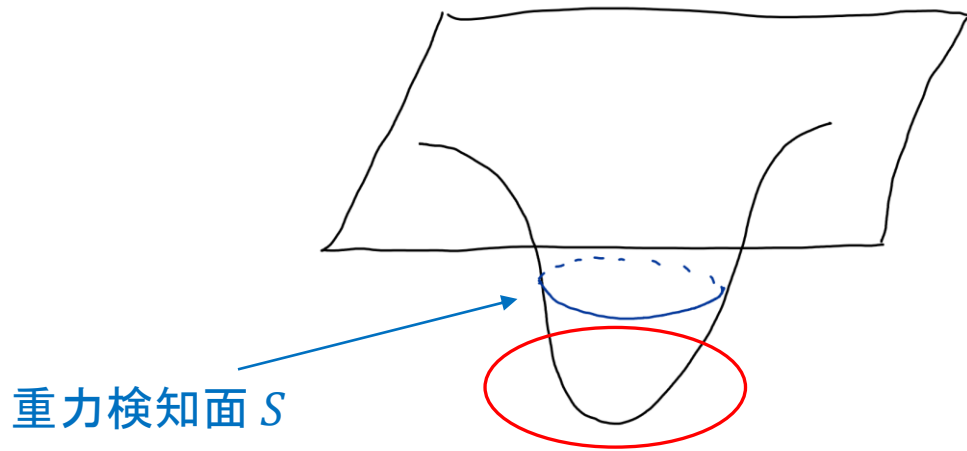
この空間にリーマンペンローズ不等式を使う



証明の概要

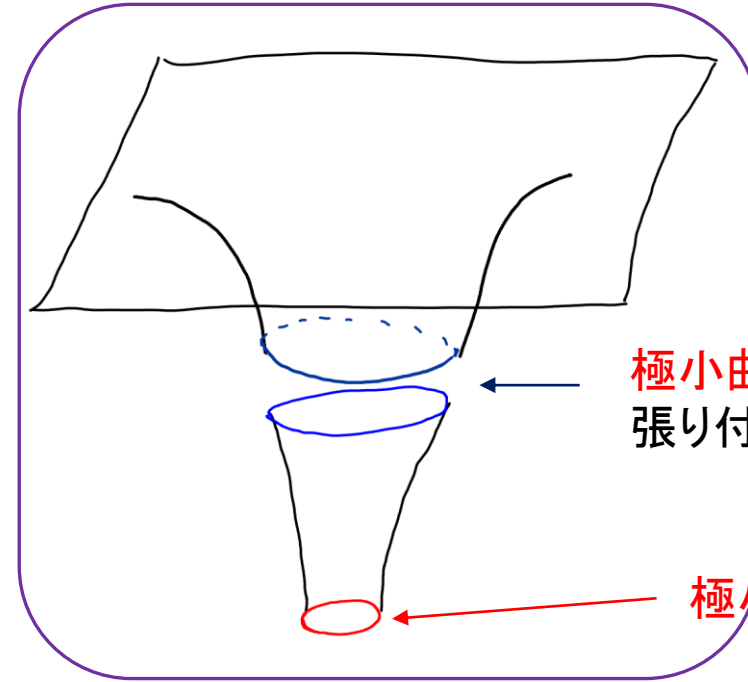
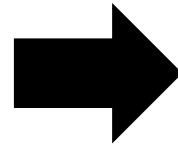
$$\varphi_0 = k^{-1} \Big|_{r=0}$$

この空間にリーマンペンローズ不等式を使う



重力検知面 S

この部分を切り取って捨てる



極小曲面を持つ空間を張り付ける

極小曲面

重力検知面 S 近傍で面直交に座標を取る

$$ds^2 = \varphi^2 dr^2 + g_{ab} dx^a dx^b$$

(重力検知面 S は $r = 0$ 、面外側で $r > 0$)

S 上で以下を満たすようにラプスを定める

$$k^{-1} \Big|_{r=0} = \varphi \Big|_{r=0} \quad (:= \varphi_0)$$

$$g_{0,ab} := g_{ab} \Big|_{r=0} \quad r_0 : \exp\left(\frac{r_0}{2}\right) = \frac{3 + 4\alpha}{1 + 2\alpha}$$

張り付けた空間の計量 ($r < 0$)

$$d\bar{s}^2 = \frac{1 - 2 \exp\left(-\frac{r_0}{2}\right)}{1 - 2 \exp\left(-\frac{r+r_0}{2}\right)} \exp(r) \varphi_0^2(x^a) dr^2 + \exp(r) g_{0,ab}(x^a) dx^a dx^b$$

cf: 球対称ブラックホール解の時刻一定 ($t = 0$) 超曲面の誘導計量

$$ds^2 = \frac{1}{4 \left(1 - \exp\left(-\frac{r+r_0}{2}\right)\right)} \exp(r) dr^2 + \exp(r) \omega_{ab} dx^a dx^b$$

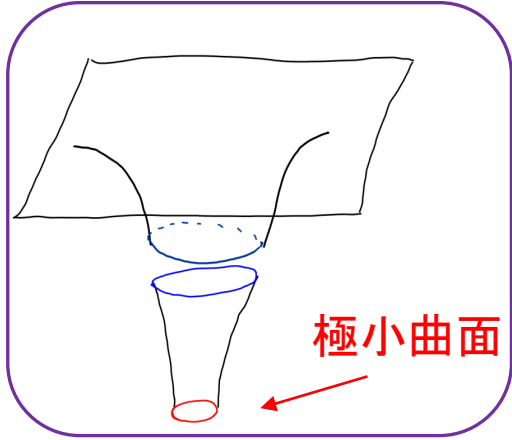
単位球面の計量

証明の概要

$$\varphi_0 = k^{-1} \Big|_{r=0}$$

k_0^2

この空間に
リーマンペンローズ不等式
を使う



各記法の定義

\mathcal{D}^2 : r 一定面のラプラシアン

r^a : r 一定面の外向き単位ベクトル

D_a : 3次元空間の共変微分

バーつき(なし)の量:

張り付けた空間の計量 $d\bar{s}$
(元の空間の計量 ds)
による幾何学量

添え字0: $r=0$ での評価

張り付けた空間の曲率の非負性の評価

$$^{(3)}\bar{R} = ^{(2)}\bar{R} - 2\bar{\varphi}^{-1}\bar{\mathcal{D}}^2\bar{\varphi} - 2\bar{r}^a\bar{D}_a\bar{k} - \bar{k}^2 - \bar{k}_{ab}\bar{k}^{ab}$$

$$\begin{aligned} ^{(2)}\bar{R} &= \exp(-r)^{(2)}R_0, & \bar{\varphi}^{-1}\bar{\mathcal{D}}^2\bar{\varphi} &= \exp(-r)\varphi_0^{-1}\mathcal{D}^2\varphi_0 \\ 2\bar{r}^a\bar{D}_a\bar{k} + \frac{3}{2}\bar{k}^2 &= \exp(-r)\left(2\alpha + \frac{3}{2}\right)\varphi_0^{-2}\bar{k}_{ab}\bar{k}^{ab} = \frac{1}{2}\bar{k}^2 \end{aligned}$$

$$^{(3)}\bar{R} = \exp(-r) \left\{ ^{(2)}R_0 - 2\varphi_0^{-1}\mathcal{D}^2\varphi_0 - \left(2\alpha + \frac{3}{2}\right)k_0^2 \right\}$$

重力検知面 2次元中の2階テンソルに対し

$$r^a D_a k \geq \alpha k^2 \quad k_{ab} k^{ab} \geq \frac{1}{2} k^2$$

$$\begin{aligned} \{ \dots \} &\geq ^{(2)}R_0 - 2\varphi_0^{-1}\mathcal{D}^2\varphi_0 \\ &\quad - 2r^a D_a k|_{r=0} - k^2|_{r=0} - k_{ab}^2|_{r=0} \\ &= ^{(3)}R_0 \geq 0 \end{aligned}$$

張り付けた空間の計量 ($r < 0$)

$$d\bar{s}^2 = \frac{1 - 2 \exp\left(-\frac{r_0}{2}\right)}{1 - 2 \exp\left(-\frac{r+r_0}{2}\right)} \exp(r) \varphi_0^2(x^a) dr^2 + \exp(r) g_{0,ab}(x^a) dx^a dx^b$$

cf: 球対称ブラックホール解の時刻一定($t=0$)超曲面の誘導計量

$$ds^2 = \frac{1}{4\left(1 - \exp\left(-\frac{r+r_0}{2}\right)\right)} \exp(r) dr^2 + \exp(r) \omega_{ab} dx^a dx^b$$

単位球面の計量

証明の概要

リーマンペンローズ不等式

$$A_{MS} \leq 4\pi (2m)^2$$

重力検知面と極小曲面の面積の関係

重力検知面の位置: $r = 0$

極小曲面の位置は
計量の dr^2 の係数が発散するところ

$$r = -r_0 + 2 \log 2$$

r 一定面の面積:

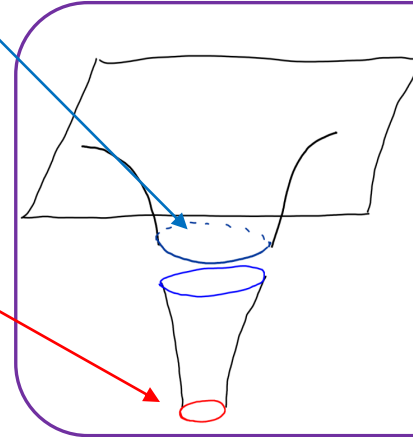
$$A(r) = \exp(r) \int_{S_0} dA$$

$$\begin{aligned} A_0 &= \exp(-r_0 + 2 \log 2) A_{MS} \\ &= \left(\frac{2(1+2\alpha)}{3+4\alpha} \right)^2 A_{MS} \end{aligned}$$

重力検知面で
張り付けた。
 $r = 0$ となるよう
座標を取った
面積を A_0 と書く。

この空間に
リーマンペンローズ不等式
を使う

極小曲面。
面積を A_{MS}
と書く。



各記法の定義

\mathcal{D}^2 : r 一定面のラプラシアン

r^a : r 一定面の外向き単位ベクトル

D_a : 3次元空間の共変微分

バーつき(なし)の量:
張り付けた空間の計量 $d\bar{s}$
(元の空間の計量 ds)
による幾何学量

添え字0: $r = 0$ での評価

張り付けた空間の計量 ($r < 0$)

$$d\bar{s}^2 = \frac{1 - 2 \exp\left(-\frac{r_0}{2}\right)}{1 - 2 \exp\left(-\frac{r+r_0}{2}\right)} \exp(r) \varphi_0^2(x^a) dr^2 + \exp(r) g_{0,ab}(x^a) dx^a dx^b$$

cf: 球対称ブラックホール解の時刻一定($t = 0$)超曲面の誘導計量

$$ds^2 = \frac{1}{4 \left(1 - \exp\left(-\frac{r+r_0}{2}\right)\right)} \exp(r) dr^2 + \exp(r) \omega_{ab} dx^a dx^b$$

単位球面の計量

証明の概要

リーマンペンローズ不等式

$$A_{MS} \leq 4\pi (2m)^2$$

重力検知面と極小曲面の面積の関係

重力検知面の位置: $r = 0$

極小曲面の位置は

計量の dr^2 の係数が発散するところ

$$r = -r_0 + 2 \log 2$$

r 一定面の面積:

$$A(r) = \exp(r) \int_{S_0} dA$$

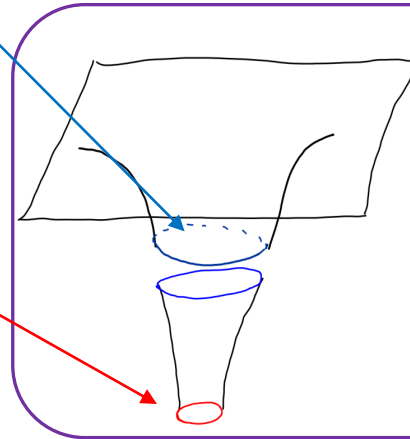
$$A_0 = \exp(-r_0 + 2 \log 2) A_{MS} \\ = \left(\frac{2(1+2\alpha)}{3+4\alpha} \right)^2 A_{MS}$$

➔ $A_0 \leq 4\pi \left(\frac{3+4\alpha}{1+2\alpha} m \right)^2$

重力検知面で張り付けた。
 $r = 0$ となるよう座標を取った面積を A_0 と書く。

この空間にリーマンペンローズ不等式を使う

極小曲面。面積を A_{MS} と書く。



各記法の定義

\mathcal{D}^2 : r 一定面のラプラシアン

r^a : r 一定面の外向き単位ベクトル

D_a : 3次元空間の共変微分

バーつき(なし)の量:
張り付けた空間の計量 $d\bar{s}$
(元の空間の計量 ds)
による幾何学量

添え字0: $r = 0$ での評価

張り付けた空間の計量 ($r < 0$)

$$d\bar{s}^2 = \frac{1 - 2 \exp(-\frac{r_0}{2})}{1 - 2 \exp(-\frac{r+r_0}{2})} \exp(r) \varphi_0^2(x^a) dr^2 + \exp(r) g_{0,ab}(x^a) dx^a dx^b$$

cf: 球対称ブラックホール解の時刻一定($t = 0$)超曲面の誘導計量

$$ds^2 = \frac{1}{4 \left(1 - \exp(-\frac{r+r_0}{2}) \right)} \exp(r) dr^2 + \exp(r) \omega_{ab} dx^a dx^b$$

単位球面の計量

残る解決すべき点

接続面が滑らかでない

先ほど作った空間に近い滑らかな空間の族を作って
その族の極限として先ほどの空間を表現する

➡ 次の章で説明

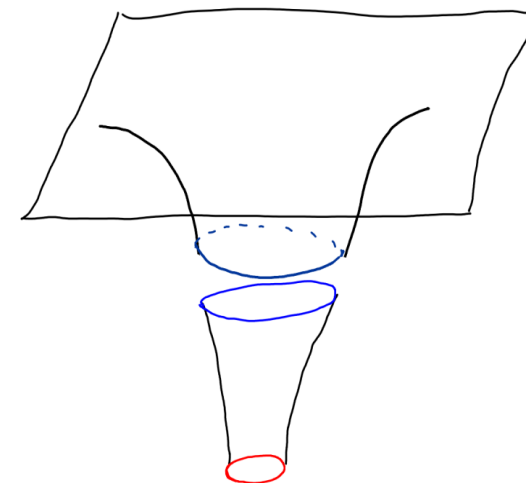
作った極小曲面が一番外にある極小曲面になっているか？

仮定 以下を満たす面が存在しない

- 1、重力検知面の外に存在する境界を持たないコンパクトな極小曲面
- 2、重力検知面に境界を持ち、面積が $4\pi(2m)^2$ 以下になる極小曲面

➡ この条件を用いると解決できる

(次のスライドで説明)

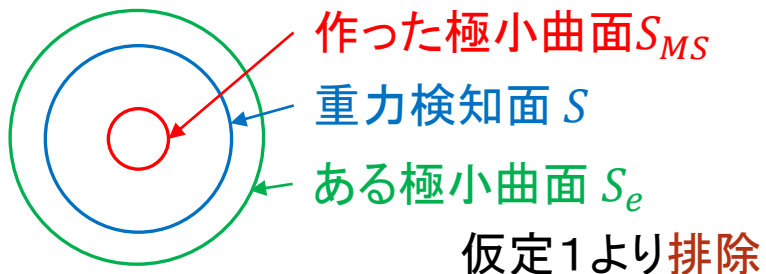


一番外の極小曲面

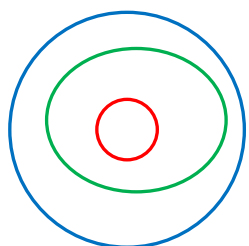
背理法

ある極小曲面 S_e が先ほど作った極小曲面 S_{MS} を囲っていたとする。

1, S_e が重力検知面 S の外側に可能性



2, S_e が S の内側にある可能性



r 一定面での平均曲率は
外向き直交に対して正 ($k > 0$)

$$\bar{k} = \varphi_0^{-1} \sqrt{\frac{1 - 2 \exp(-\frac{r+r_0}{2})}{1 - 2 \exp(-\frac{r_0}{2})}} \exp(-r)$$

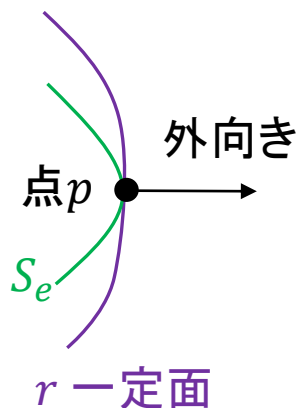
S_e で r が最大になる点 p が存在

点 p において (S_e の平均曲率) $>$ (r 一定面の平均曲率) $>$ 0

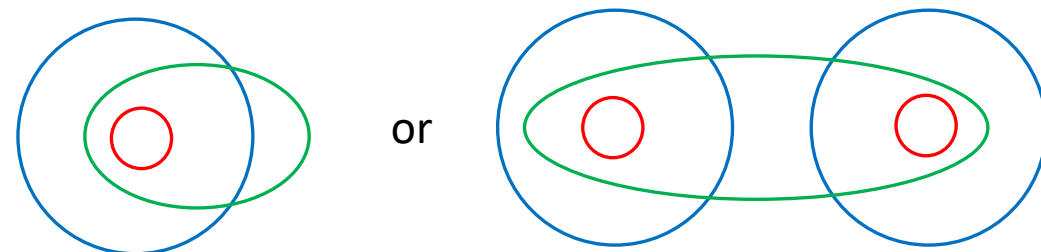
「 S_e が極小曲面」と矛盾

仮定 以下を満たす面が存在しない

- 1、重力検知面の外に存在する境界を持たないコンパクトな極小曲面
- 2、重力検知面に境界を持ち、面積が $4\pi(2m)^2$ 以下になる極小曲面

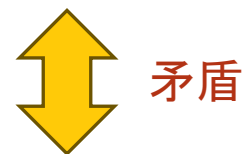


3, S_e が S と交わる可能性



仮定2より、 S の外にある S_e の部分の面積は $4\pi(2m)^2$ より大きい

S_e の面積は $4\pi(2m)^2$ より大きい



リーマンペンローズ不等式より
最も外側の極小曲面 S_e の面積は $4\pi(2m)^2$ 以下

話の流れ

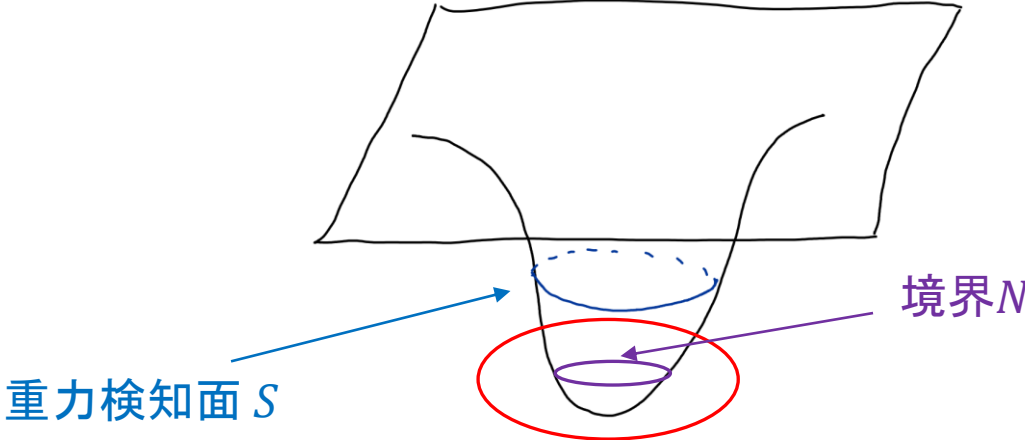
1、定理の主張

2、不等式の見積もり

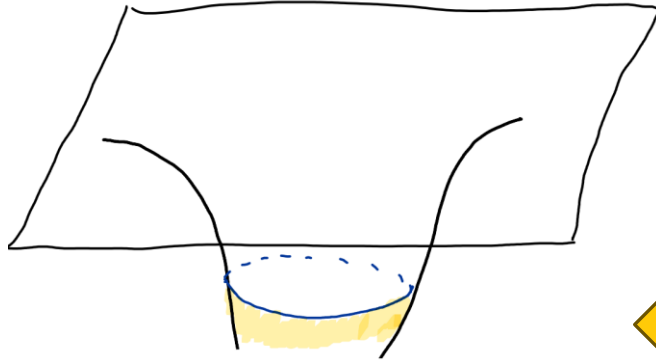
3、証明の概要

4、スムーズ化

スムーズな接続



スムーズな接続

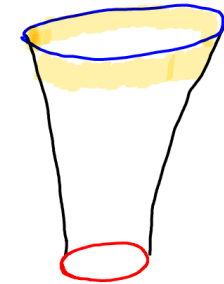


張り付けた空間の計量 ($r < 0$)

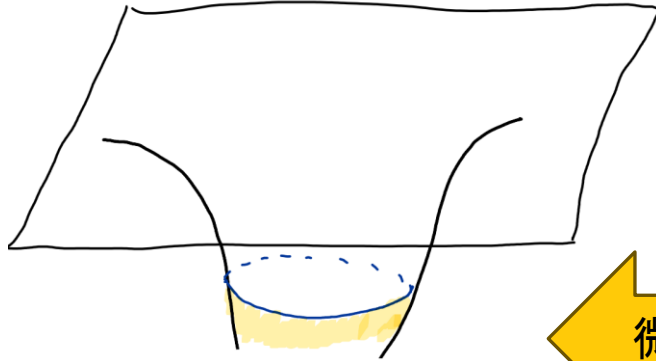
$$d\bar{s}^2 = \frac{1 - 2 \exp\left(-\frac{r_0}{2}\right)}{1 - 2 \exp\left(-\frac{r+r_0}{2}\right)} \exp(r) \varphi_0^2(x^a) dr^2 + \exp(r) g_{0,ab}(x^a) dx^a dx^b$$

重力検知面S近傍で面直交に座標を取る

$$ds^2 = \varphi^2 dr^2 + g_{ab} dx^a dx^b$$



スムーズな接続

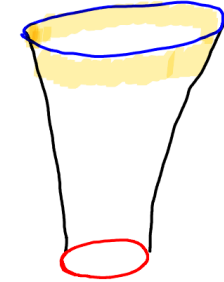


張り付けた空間の座標 ($r < 0$)

$$d\bar{s}^2 = \frac{1 - 2 \exp\left(-\frac{r_0}{2}\right)}{1 - 2 \exp\left(-\frac{r+r_0}{2}\right)} \exp(r) \varphi_0^2(x^a) dr^2 + \exp(r) g_{0,ab}(x^a) dx^a dx^b$$

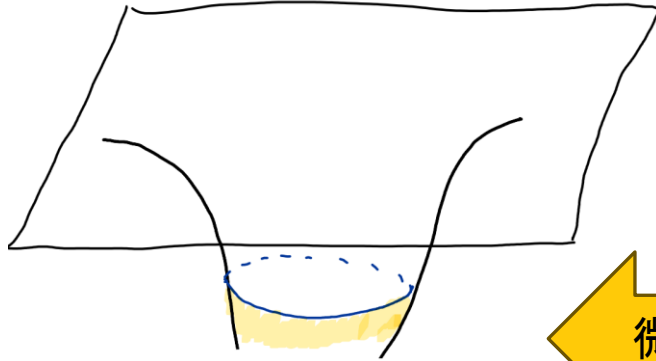
重力検知面 S 近傍で面直交に座標を取る

$$ds^2 = \varphi^2 dr^2 + g_{ab} dx^a dx^b$$



$r = 0$ で左の空間に
 $r = -\epsilon$ で右の空間に
 滑らかに繋がるのりしろを作る

スムーズな接続



張り付けた空間の計量 ($r < 0$)

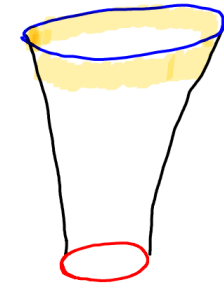
$$d\bar{s}^2 = \frac{1 - 2 \exp(-\frac{r_0}{2})}{1 - 2 \exp(-\frac{r+r_0}{2})} \exp(r) \varphi_0^2(x^a) dr^2 + \exp(r) g_{0,ab}(x^a) dx^a dx^b$$

$=: \bar{\varphi}^2$

$=: \bar{g}_{ab}$

重力検知面 S 近傍で面直交に座標を取る

$$ds^2 = \varphi^2 dr^2 + g_{ab} dx^a dx^b$$



$r = 0$ で左の空間に
 $r = -\epsilon$ で右の空間に
 滑らかに繋がるのりしろを作る

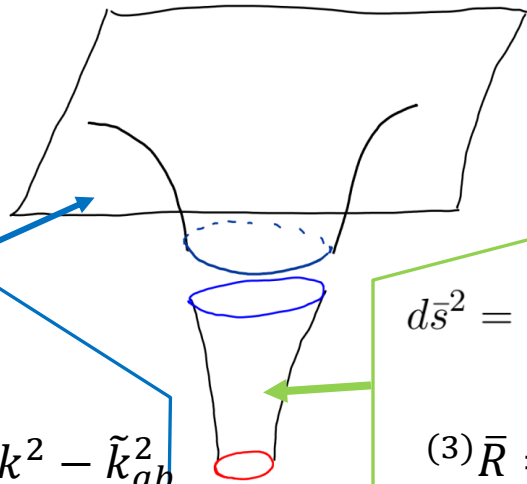
二つの計量を割合的に混ぜる

$$d\check{s}^2 = \check{\varphi}^2 dr^2 + \check{g}_{ab} dx^a dx^b$$

$$\check{\varphi} = f_1(r)\varphi + (1 - f_1(r))\bar{\varphi}$$

$$\check{g}_{ab} = f_2(r)g_{ab} + (1 - f_2(r))\bar{g}_{ab}$$

大雑把な見積もり



$$r \geq 0$$

$$ds^2 = \varphi^2 dr^2 + g_{ab} dx^a dx^b$$

$${}^{(3)}R = {}^{(2)}R - 2\varphi^{-1} \mathcal{D}^2 \varphi - 2r^a D_a k - \frac{3}{2} k^2 - \tilde{k}_{ab}^2$$

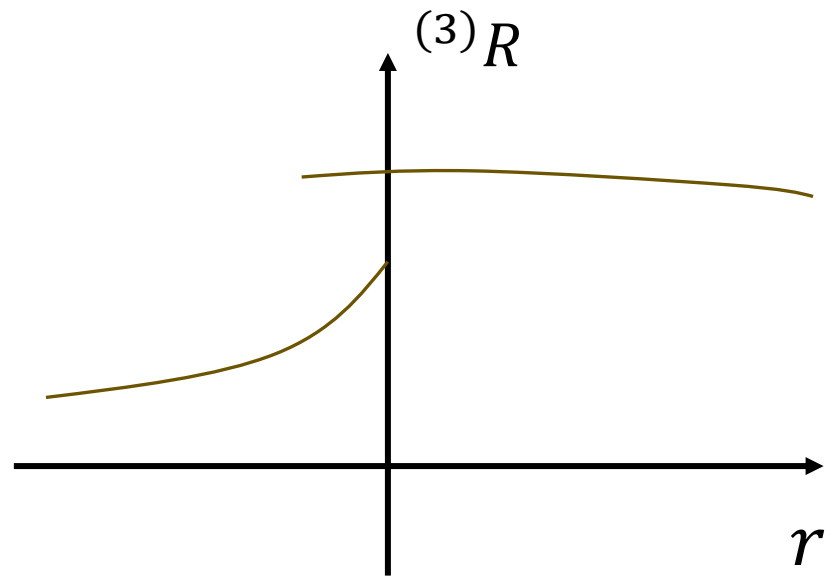
$$r < 0$$

$$d\bar{s}^2 = \frac{1 - 2 \exp(-\frac{r_0}{2})}{1 - 2 \exp(-\frac{r+r_0}{2})} \exp(r) \varphi_0^2(x^a) dr^2 + \exp(r) g_{0,ab}(x^a) dx^a dx^b$$

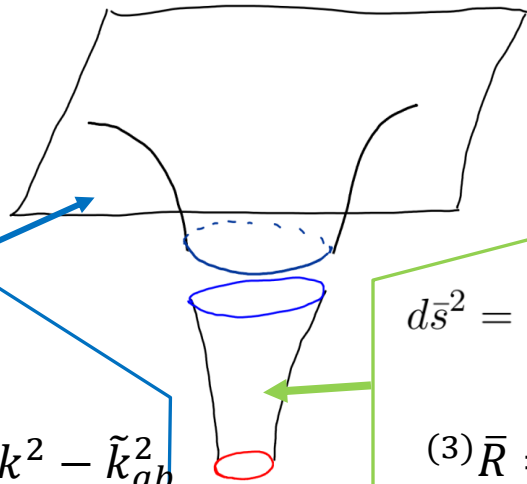
$${}^{(3)}\bar{R} = {}^{(2)}\bar{R} - 2\bar{\varphi}^{-1} \bar{\mathcal{D}}^2 \bar{\varphi} - 2\bar{r}^a \bar{D}_a \bar{k} - \frac{3}{2} \bar{k}^2 - \tilde{\bar{k}}_{ab}^2$$

接続面において ${}^{(2)}\bar{R} = {}^{(2)}R$ $\bar{\varphi}^{-1} \bar{\mathcal{D}}^2 \bar{\varphi} = \varphi^{-1} \mathcal{D}^2 \varphi$ $\bar{k}^2 = k^2$ $\bar{r}^a \bar{D}_a \bar{k} \neq r^a D_a k$ $\tilde{\bar{k}}_{ab}^2 = 0$

不連続



大雑把な見積もり



$r \geq 0$

$$ds^2 = \varphi^2 dr^2 + g_{ab} dx^a dx^b$$

$${}^{(3)}R = {}^{(2)}R - 2\varphi^{-1}\mathcal{D}^2\varphi - 2r^a D_a k - \frac{3}{2}k^2 - \tilde{k}_{ab}^2$$

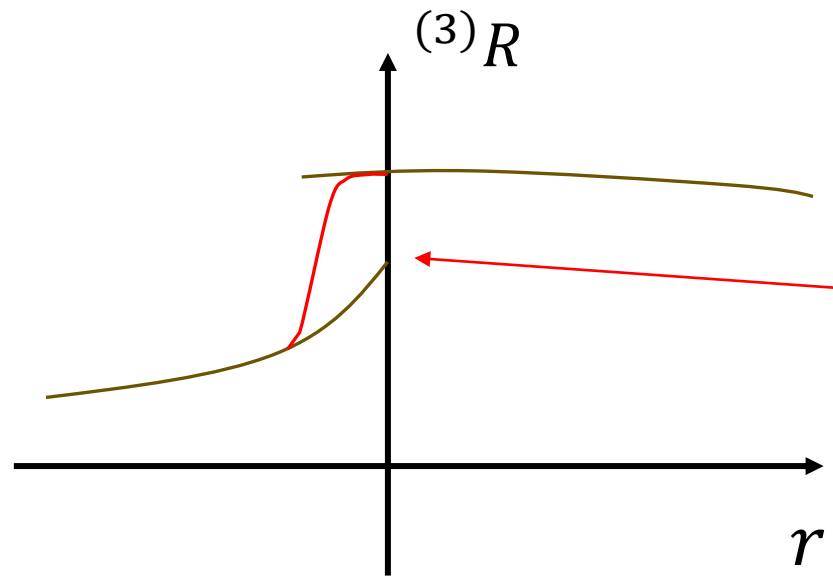
$r < 0$

$$d\bar{s}^2 = \frac{1 - 2 \exp(-\frac{r_0}{2})}{1 - 2 \exp(-\frac{r+r_0}{2})} \exp(r) \varphi_0^2(x^a) dr^2 + \exp(r) g_{0,ab}(x^a) dx^a dx^b$$

$${}^{(3)}\bar{R} = {}^{(2)}\bar{R} - 2\bar{\varphi}^{-1}\bar{\mathcal{D}}^2\bar{\varphi} - 2\bar{r}^a \bar{D}_a \bar{k} - \frac{3}{2}\bar{k}^2 - \tilde{\bar{k}}_{ab}^2$$

接続面において ${}^{(2)}\bar{R} = {}^{(2)}R$ $\bar{\varphi}^{-1}\bar{\mathcal{D}}^2\bar{\varphi} = \varphi^{-1}\mathcal{D}^2\varphi$ $\bar{k}^2 = k^2$ $\bar{r}^a \bar{D}_a \bar{k} \neq r^a D_a k$ $\tilde{\bar{k}}_{ab}^2 = 0$

不連続



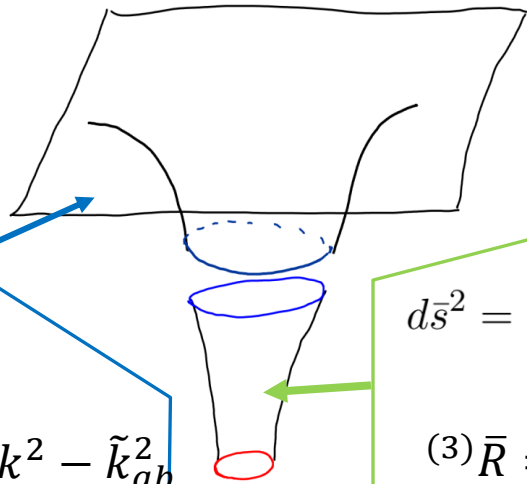
① 単調に滑らかに接続する

大雑把な見積もり

$$r \geq 0$$

$$ds^2 = \varphi^2 dr^2 + g_{ab} dx^a dx^b$$

$${}^{(3)}R = {}^{(2)}R - 2\varphi^{-1}\mathcal{D}^2\varphi - 2r^a D_a k - \frac{3}{2}k^2 - \tilde{k}_{ab}^2$$

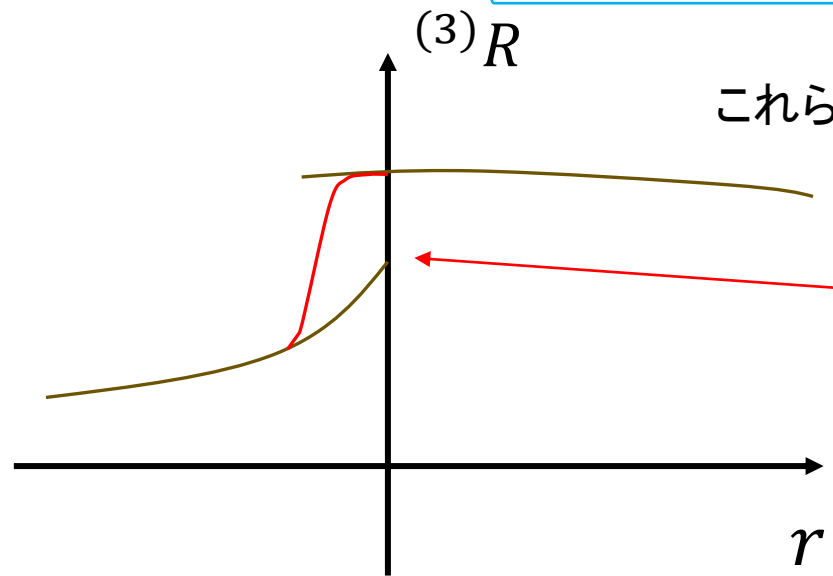


$$r < 0$$

$$d\bar{s}^2 = \frac{1 - 2 \exp(-\frac{r_0}{2})}{1 - 2 \exp(-\frac{r+r_0}{2})} \exp(r) \varphi_0^2(x^a) dr^2 + \exp(r) g_{0,ab}(x^a) dx^a dx^b$$

$${}^{(3)}\bar{R} = {}^{(2)}\bar{R} - 2\bar{\varphi}^{-1}\bar{\mathcal{D}}^2\bar{\varphi} - 2\bar{r}^a \bar{D}_a \bar{k} - \frac{3}{2}\bar{k}^2 - \tilde{\bar{k}}_{ab}^2$$

接続面において ${}^{(2)}\bar{R} = {}^{(2)}R$ $\bar{\varphi}^{-1}\bar{\mathcal{D}}^2\bar{\varphi} = \varphi^{-1}\mathcal{D}^2\varphi$ $\bar{k}^2 = k^2$ $\bar{r}^a \bar{D}_a \bar{k} \neq r^a D_a k$ $\tilde{\bar{k}}_{ab}^2 = 0$



これらの値に影響を与える



不連続



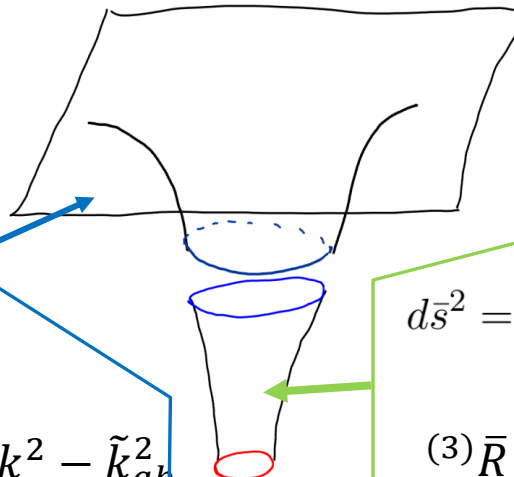
単調に滑らかに接続する

大雑把な見積もり

$$r \geq 0$$

$$ds^2 = \varphi^2 dr^2 + g_{ab} dx^a dx^b$$

$${}^{(3)}R = {}^{(2)}R - 2\varphi^{-1} \mathcal{D}^2 \varphi - 2r^a D_a k - \frac{3}{2} k^2 - \tilde{k}_{ab}^2$$

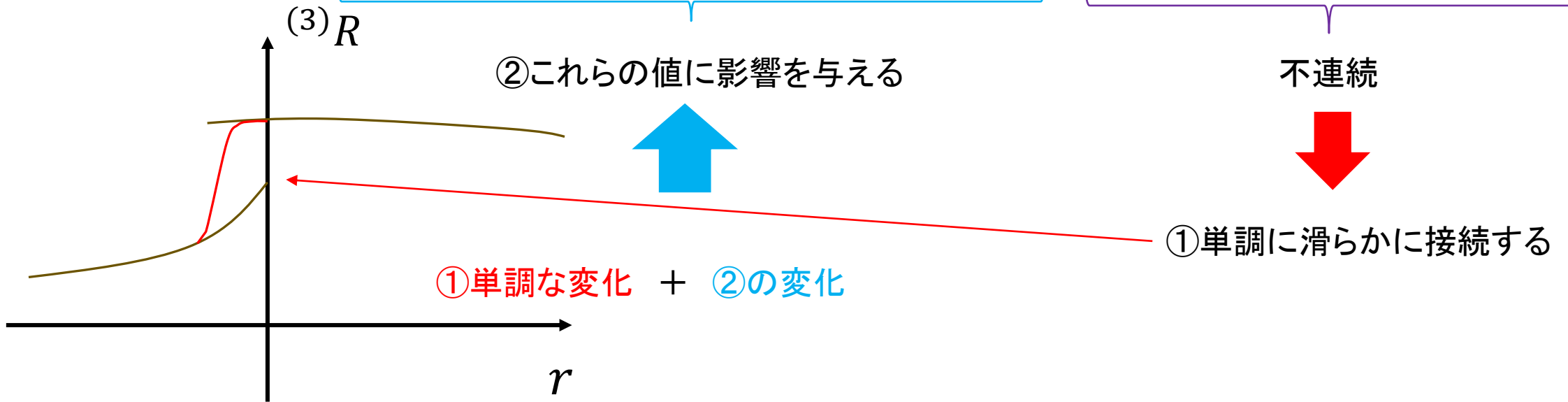


$$r < 0$$

$$d\bar{s}^2 = \frac{1 - 2 \exp(-\frac{r_0}{2})}{1 - 2 \exp(-\frac{r+r_0}{2})} \exp(r) \varphi_0^2(x^a) dr^2 + \exp(r) g_{0,ab}(x^a) dx^a dx^b$$

$${}^{(3)}\bar{R} = {}^{(2)}\bar{R} - 2\bar{\varphi}^{-1} \bar{\mathcal{D}}^2 \bar{\varphi} - 2\bar{r}^a \bar{D}_a \bar{k} - \frac{3}{2} \bar{k}^2 - \tilde{\bar{k}}_{ab}^2$$

接続面において ${}^{(2)}\bar{R} = {}^{(2)}R$ $\bar{\varphi}^{-1} \bar{\mathcal{D}}^2 \bar{\varphi} = \varphi^{-1} \mathcal{D}^2 \varphi$ $\bar{k}^2 = k^2$ $\bar{r}^a \bar{D}_a \bar{k} \neq r^a D_a k$ $\tilde{\bar{k}}_{ab}^2 = 0$



大雑把な見積もり

$$\bar{r}^a \bar{D}_a \bar{k} \neq r^a D_a k$$

$$\tilde{k}_{ab} \rightarrow \tilde{\tilde{k}}_{ab} = 0$$

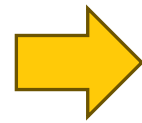
$r = 0$ から $r = -\epsilon$ で滑らかに単調に変化させる

$$k_{ab} = \frac{1}{2\varphi} \frac{\partial}{\partial r} g_{ab}$$



k の変化
 g_{ab} の変化

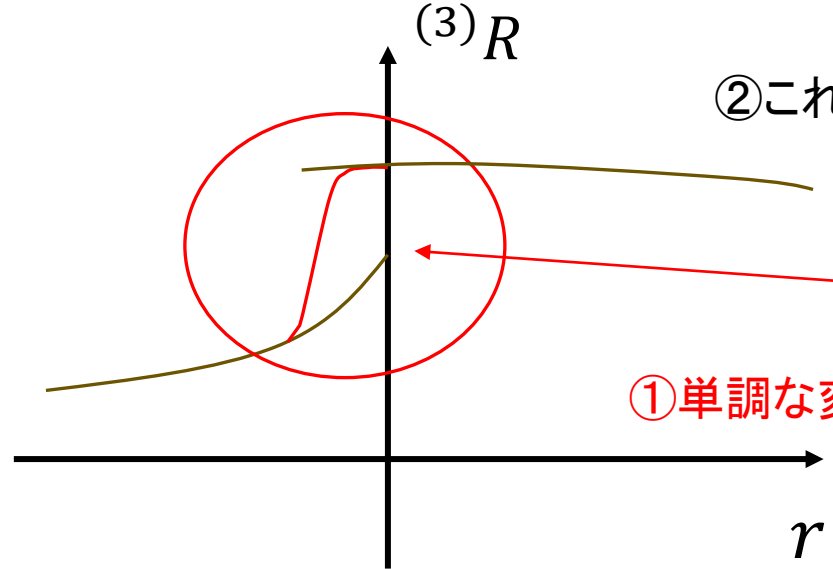
は $O(\epsilon)$



k^2 の変化
 $(2)R$ の変化
 $\varphi^{-1} D^2 \varphi$ の変化

は $O(\epsilon)$

接続面において $(2)\bar{R} = (2)R$ $\bar{\varphi}^{-1} \bar{D}^2 \bar{\varphi} = \varphi^{-1} D^2 \varphi$ $\bar{k}^2 = k^2$ $\bar{r}^a \bar{D}_a \bar{k} \neq r^a D_a k$ $\tilde{\tilde{k}}_{ab}^2 = 0$



②これらの値に影響を与える

不連続



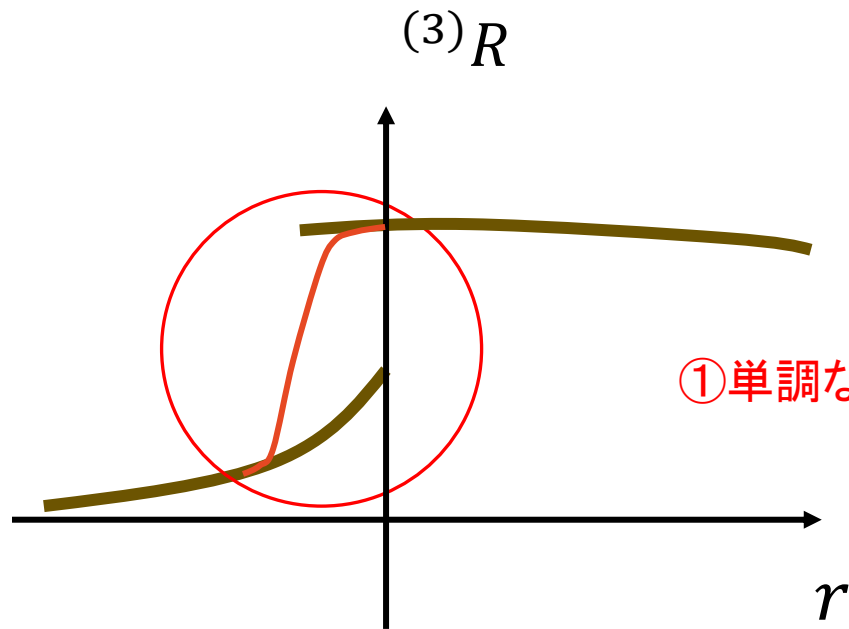
①単調に滑らかに接続する

①単調な変化 + ②の変化

$$O(\tilde{\epsilon})$$

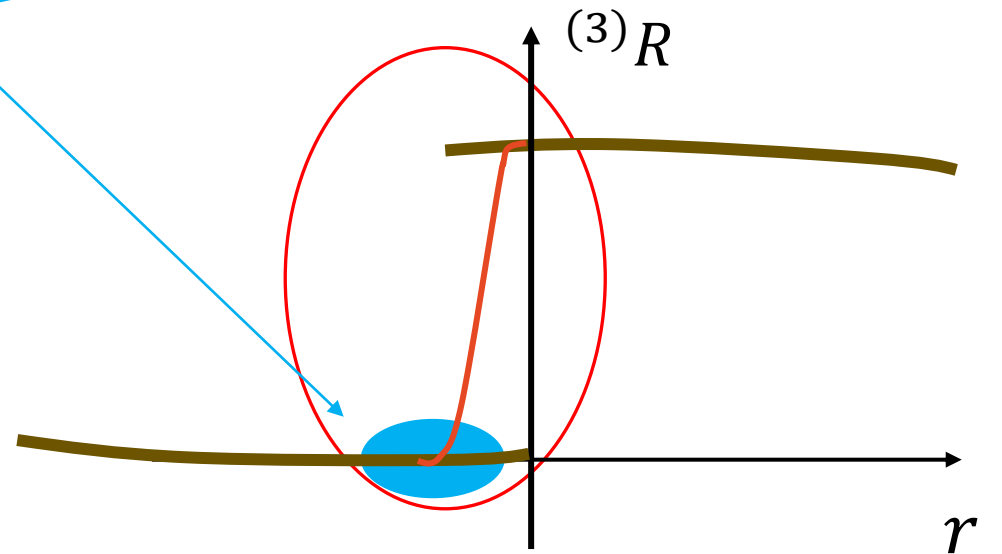
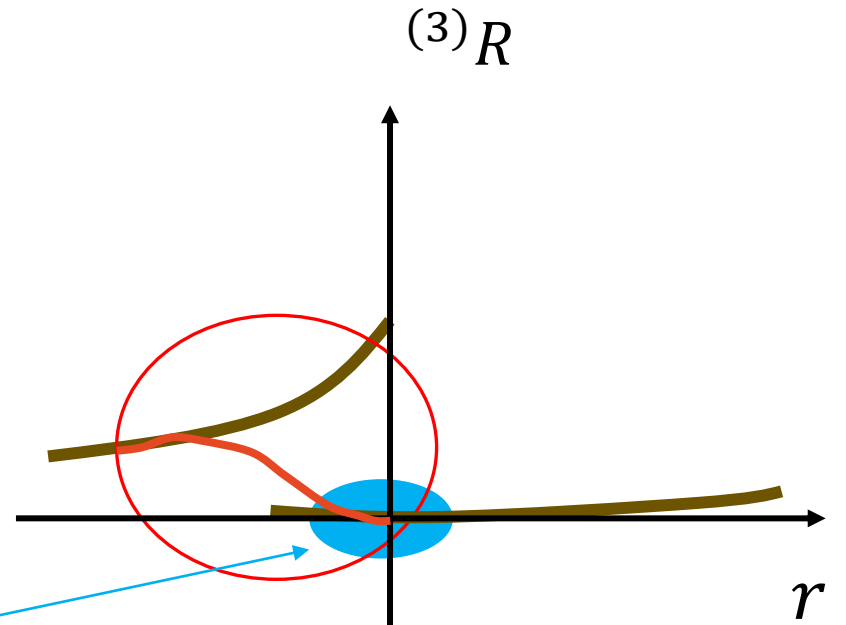
接続前後で $(3)R$ が strict に正であれば、 $\tilde{\epsilon}$ を十分小さくすることで接続領域でも $(3)R > 0$ とできる

曲率が負になってしまう状況



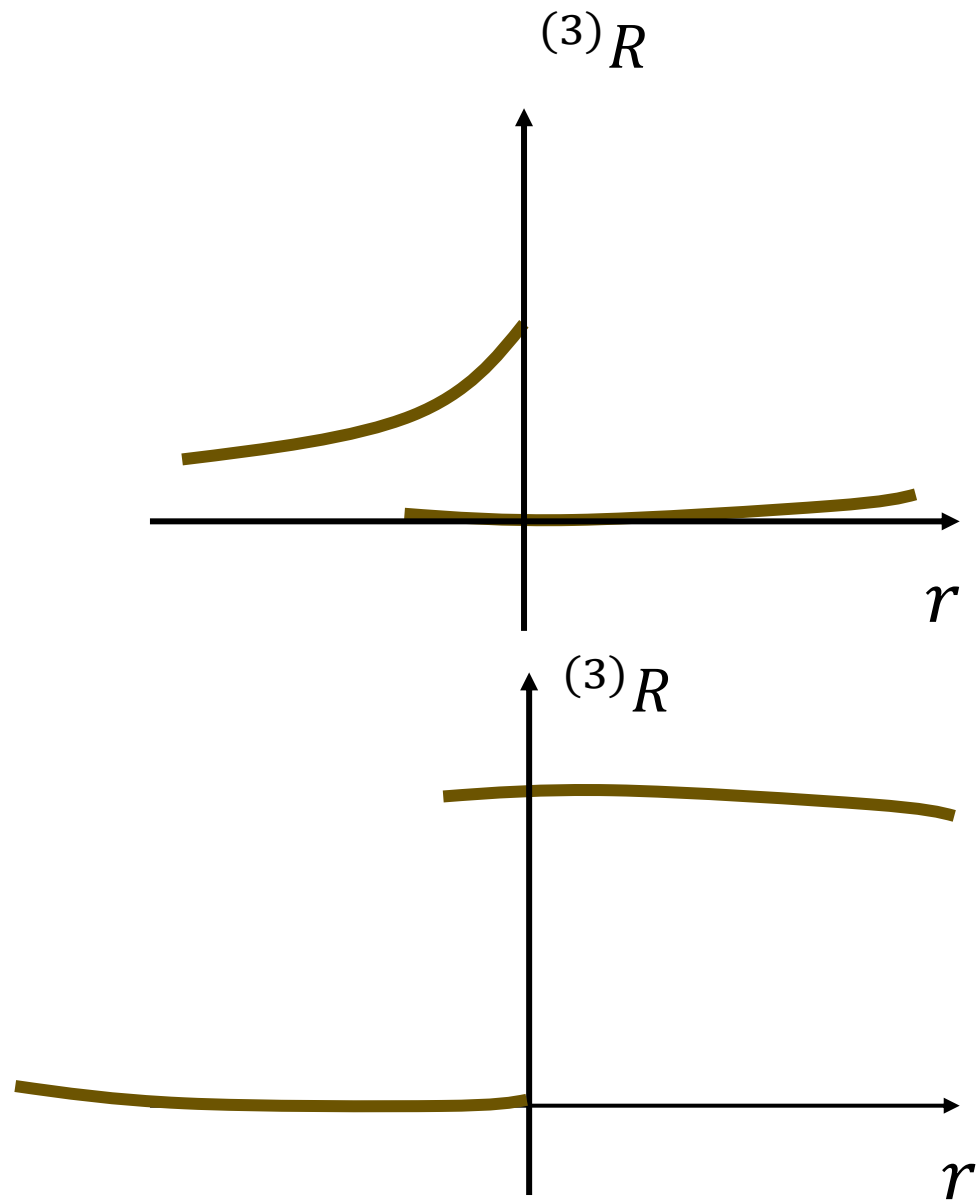
①単調な変化 + ②の変化

$O(\tilde{\epsilon})$



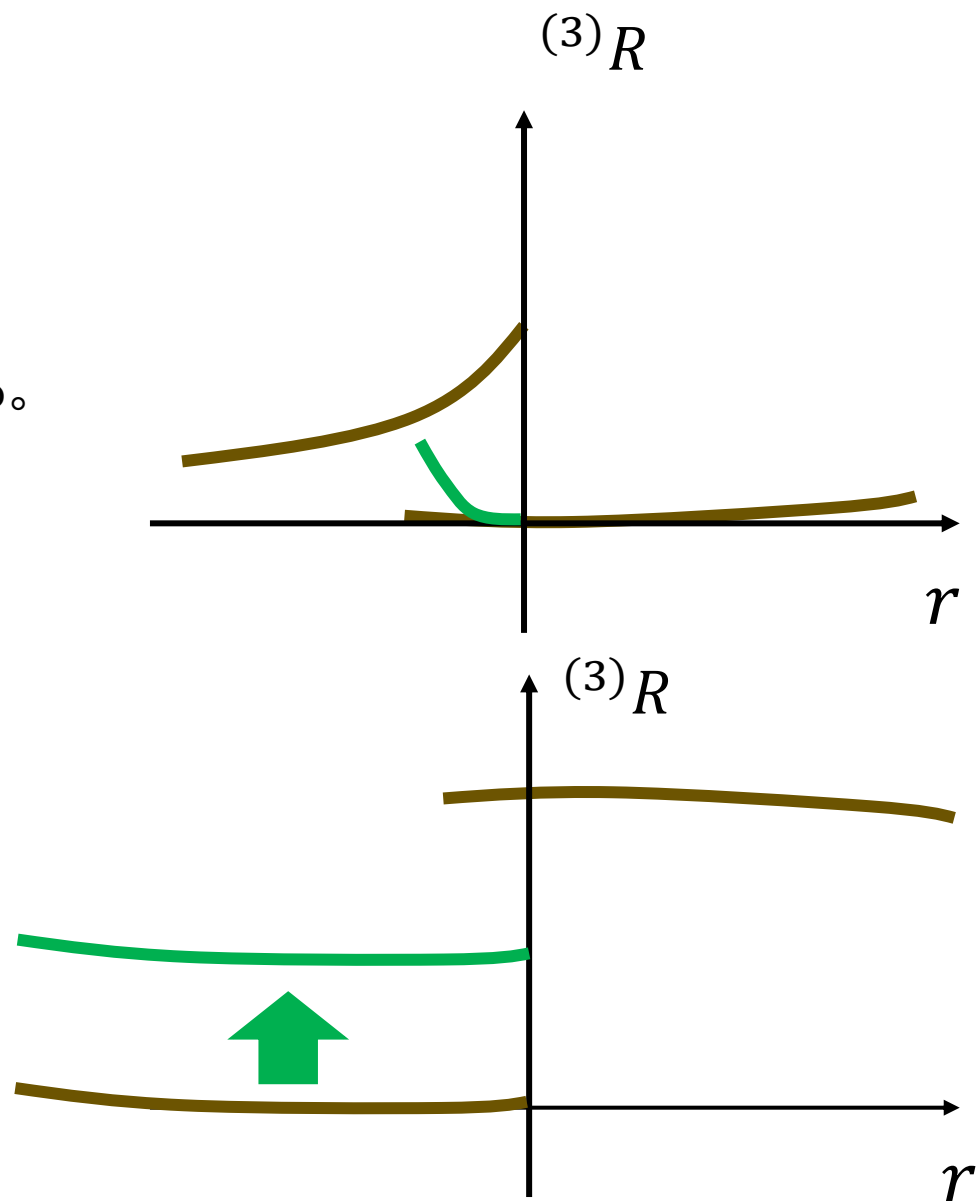
$(3)R$ が0のところでは
 $O(\tilde{\epsilon})$ の効果で、接続領域で
 $(3)R$ が負になる可能性あり。

解決策



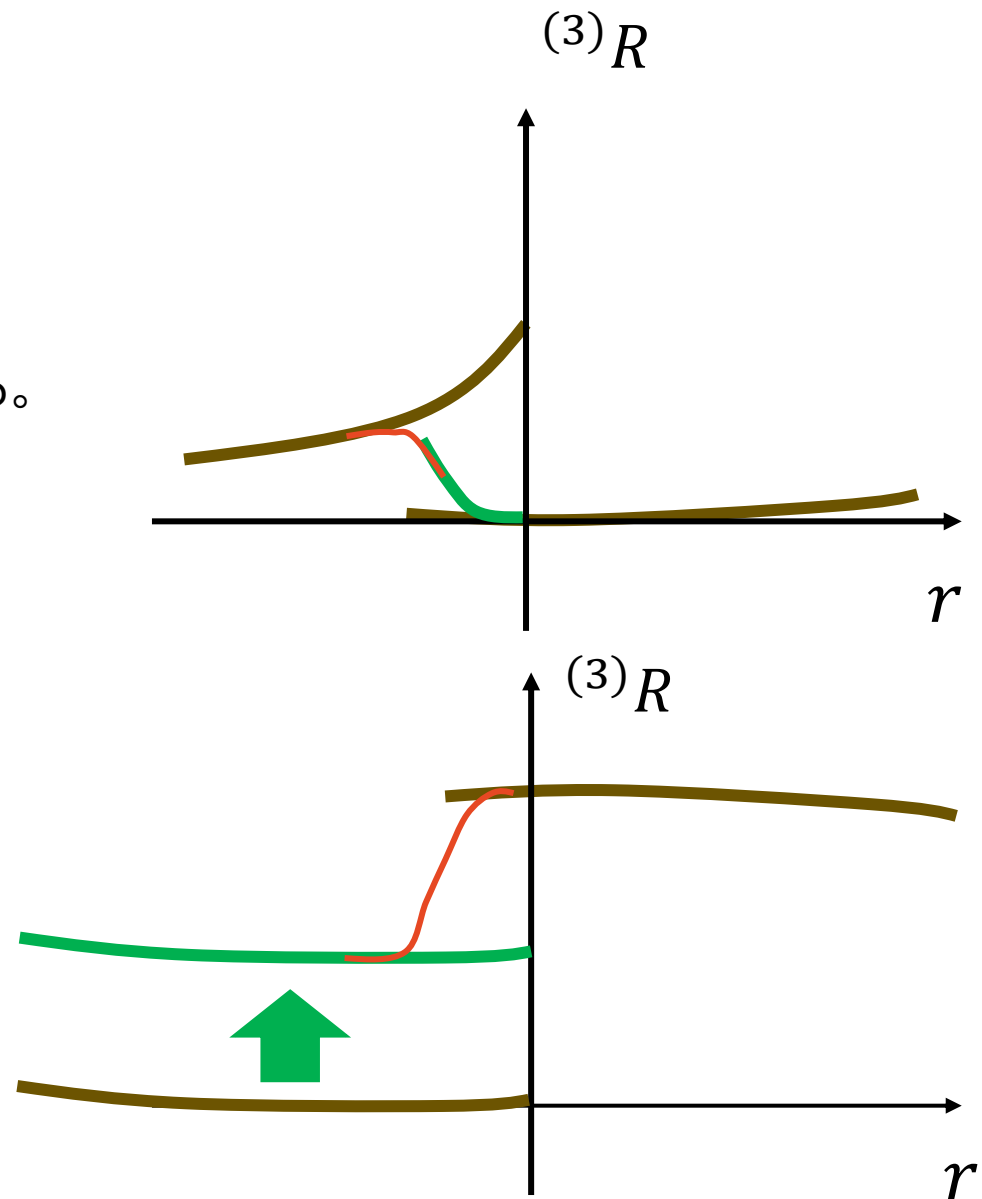
解決策

- ①元の多様体において $r < 0$ のところを変形させて $r < 0$ では必ず ${}^{(3)}R > 0$ となるようにする。
- ②人工的にくっつける多様体は ${}^{(3)}R > 0$ となるものを用意する。
- ③ $r < 0$ で接続する
- ④ ①の変形や②のリフトアップ、③の接続点の r 座標が0になる極限をとる



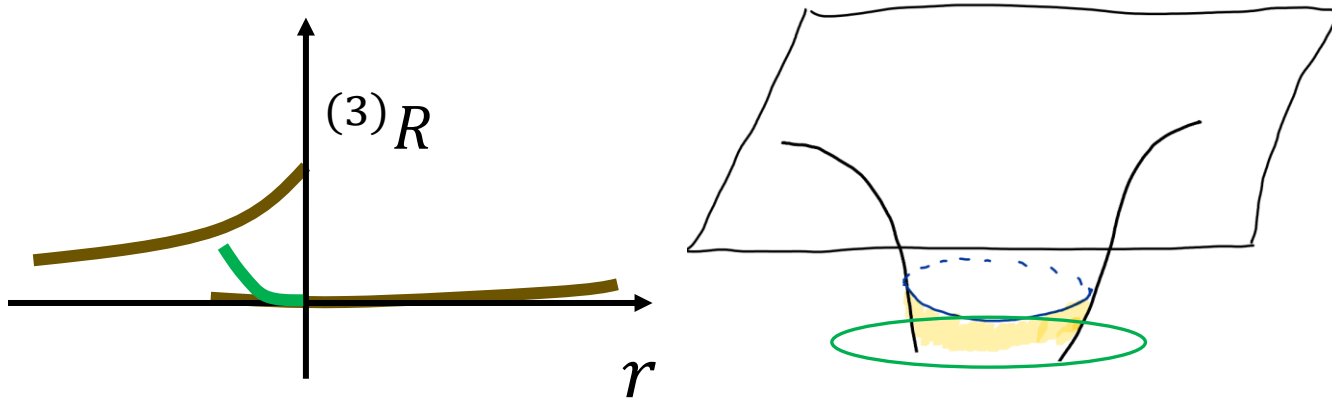
解決策

- ①元の多様体において $r < 0$ のところを変形させて $r < 0$ では必ず ${}^{(3)}R > 0$ となるようにする。
- ②人工的にくっつける多様体は ${}^{(3)}R > 0$ となるものを用意する。
- ③ $r < 0$ で接続する
- ④ ①の変形や②のリフトアップ、③の接続点の r 座標が0になる極限をとる



具体的な構成①

①元の多様体において $r < 0$ のところを変形させて
 $r < 0$ では必ず ${}^{(3)}R > 0$ となるようにする。



この部分を無理やり曲げて、正曲率を作り出す。

$$\text{このとき } {}^{(3)}\hat{R} > {}^{(3)}R + 2\frac{k^2}{u^2} \left(\frac{C\hat{\beta}}{\hat{\delta}} - \beta \right) \exp\left(\frac{C\hat{\delta}}{r}\right) > 0$$

$r = 0$ ではなく $-\hat{\delta} < r < 0$ で空間を接続すればよい

$r = 0$ で $k > 0$ であるから
 区間 $-\hat{\delta} < r < 0$ を十分小さくとると
 この区間でも $k > 0$ となるので、

$$2r^a D_a k + k^2 + k_{ab}^2 < \beta k^2$$

$$\varphi^{-1} k > \hat{\beta} k^2$$

となる $\beta > 0$ 、 $\hat{\beta} > 0$ が存在する。

この区間 $-\hat{\delta} < r < 0$ で空間計量を

$$d\hat{s}^2 = \hat{\varphi}^2 dr^2 + g_{ab} dx^a dx^b,$$

$$\hat{\varphi} := u(r)\varphi,$$

$$C > \hat{\delta}\beta/\hat{\beta}.$$

$$u(r) := 1 - \exp\left(\frac{C\hat{\delta}}{r}\right),$$

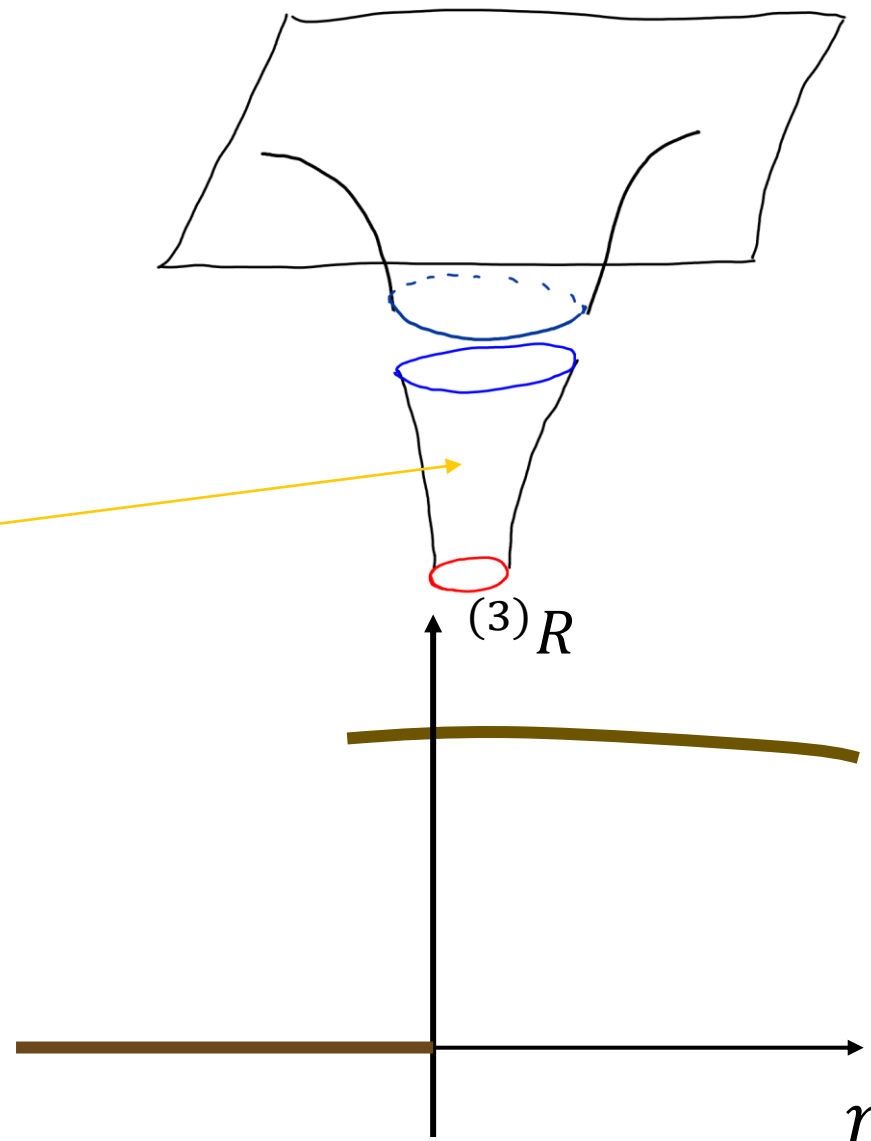
と変形する

具体的な構成②

$${}^{(3)}\bar{R} = \exp(-r) \left\{ \underline{{}^{(2)}R_0 - 2 k \mathcal{D}^2 k^{-1} - \left(2\alpha + \frac{3}{2}\right) k^2} \right\}$$

精査された重力検知面の条件

≥ 0



具体的な構成②

α の値をずらした多様体を付ける
 $\alpha \rightarrow \alpha - \gamma \epsilon \quad (\gamma > 0, \epsilon > 0)$

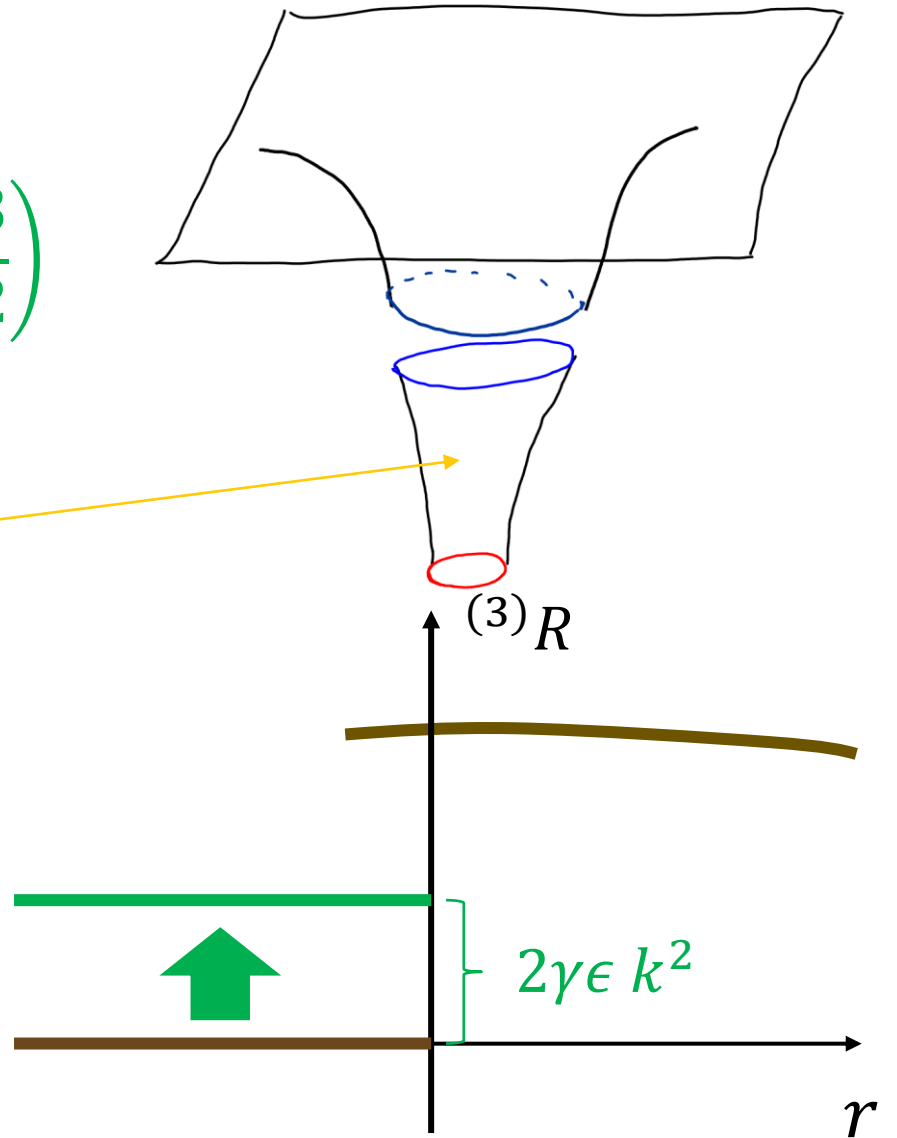
$$\left(2(\alpha - \gamma \epsilon) + \frac{3}{2} \right)$$

$${}^{(3)}\bar{R} = \exp(-r) \left\{ \frac{{}^{(2)}R_0 - 2 k \mathcal{D}^2 k^{-1} - \left(2\alpha + \frac{3}{2} \right) k^2}{\geq 0} \right\}$$

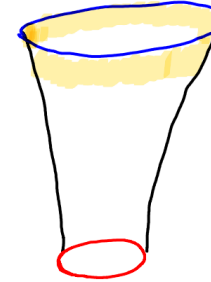
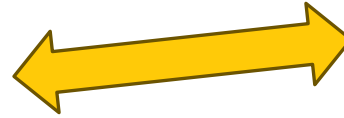
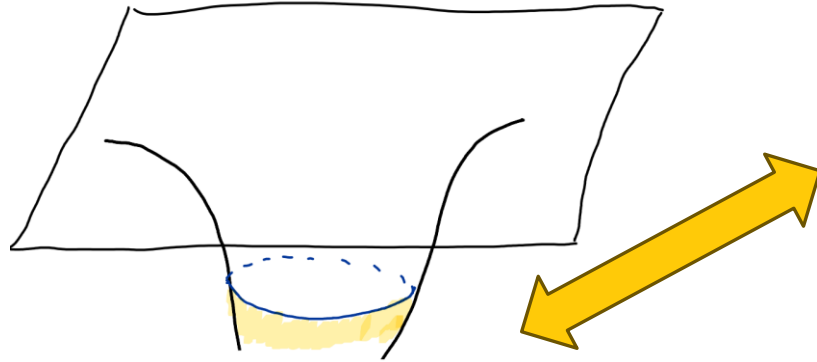
精査された重力検知面の条件

$$\geq 0$$

$$2\gamma \epsilon k^2$$



スムーズな接続 with Positive $(3)R$

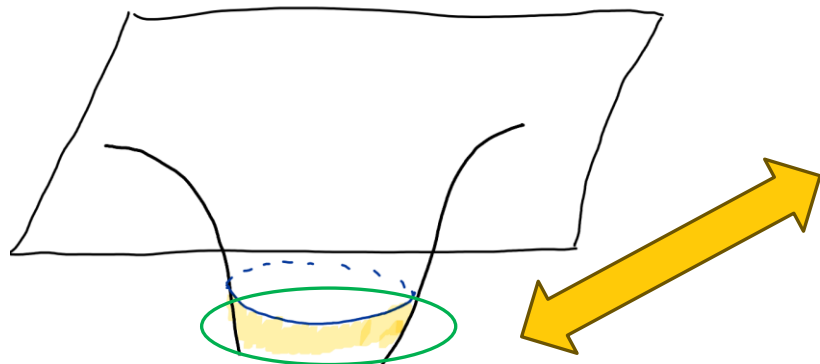


張り付けた空間の計量 ($r < 0$)

$$d\bar{s}^2 = \frac{1 - 2 \exp\left(-\frac{r_0}{2}\right)}{1 - 2 \exp\left(-\frac{r+r_0}{2}\right)} \exp(r) \varphi_0^2(x^a) dr^2 + \exp(r) g_{0,ab}(x^a) dx^a dx^b$$

$$\exp\left(\frac{r_0}{2}\right) = \frac{3 + 4\alpha}{1 + 2\alpha}$$

スムーズな接続 with Positive $(3)R$

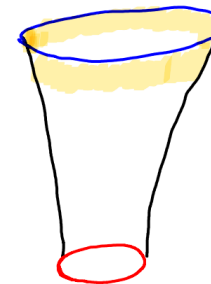


この部分を無理やり曲げて、
正曲率を作り出す。



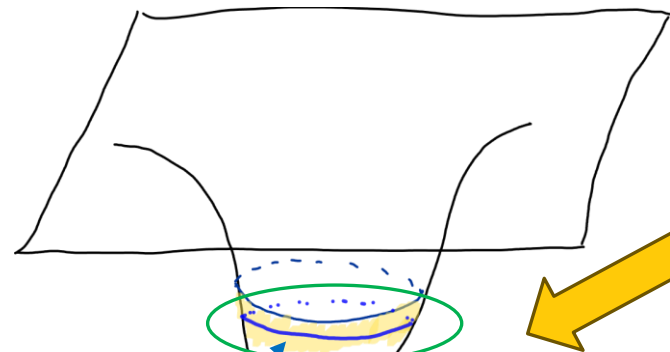
張り付けた空間の計量 ($r < 0$)

$$d\bar{s}^2 = \frac{1 - 2 \exp\left(-\frac{r_0}{2}\right)}{1 - 2 \exp\left(-\frac{r+r_0}{2}\right)} \exp(r) \varphi_0^2(x^a) dr^2 + \exp(r) g_{0,ab}(x^a) dx^a dx^b$$



$$\exp\left(\frac{r_0}{2}\right) = \frac{3 + 4\alpha}{1 + 2\alpha}$$

スムーズな接続 with Positive $(3)R$



この部分を無理やり曲げて、
正曲率を作り出す。

$r = -\epsilon$ で接続

重力検知面の条件

$${}^{(2)}R + 2kD^2k^{-1} \geq \left(2\alpha + \frac{3}{2}\right)k^2$$

$r = -\epsilon$ では、

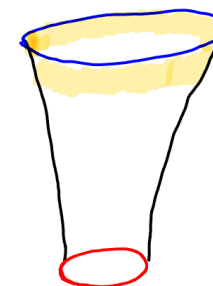
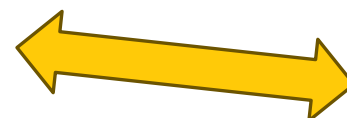
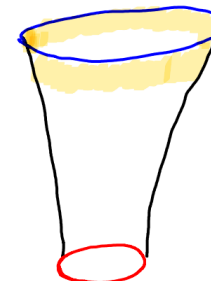
$$\alpha \rightarrow \alpha + \tilde{\gamma}\epsilon (=:\tilde{\alpha})$$

とりスケールすればよい



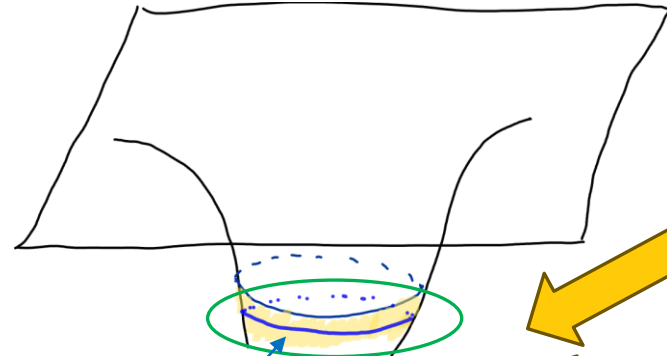
張り付けた空間の計量 ($r < 0$)

$$d\bar{s}^2 = \frac{1 - 2 \exp\left(-\frac{r_0}{2}\right)}{1 - 2 \exp\left(-\frac{r+r_0}{2}\right)} \exp(r) \varphi_0^2(x^a) dr^2 + \exp(r) g_{0,ab}(x^a) dx^a dx^b$$



$$\exp\left(\frac{r_0}{2}\right) = \frac{3 + 4\alpha}{1 + 2\alpha}$$

スムーズな接続 with Positive $(3)R$



この部分を無理やり曲げて、
正曲率を作り出す。

$r = -\epsilon$ で接続

重力検知面の条件

$${}^{(2)}R + 2kD^2k^{-1} \geq \left(2\alpha + \frac{3}{2}\right)k^2$$

$r = -\epsilon$ では、

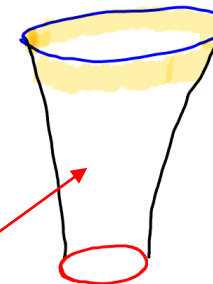
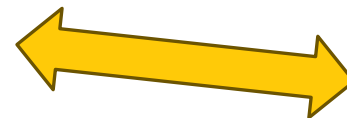
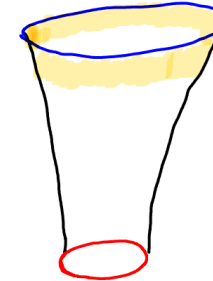
$$\alpha \rightarrow \alpha + \tilde{\gamma}\epsilon (=:\tilde{\alpha})$$

とりスケールすればよい



張り付けた空間の計量 ($r < 0$)

$$d\bar{s}^2 = \frac{1 - 2 \exp\left(-\frac{r_0}{2}\right)}{1 - 2 \exp\left(-\frac{r+r_0}{2}\right)} \exp(r) \varphi_0^2(x^a) dr^2 + \exp(r) g_{0,ab}(x^a) dx^a dx^b$$



$$\exp\left(\frac{r_0}{2}\right) = \frac{3 + 4\alpha}{1 + 2\alpha}$$

$\tilde{\alpha} \rightarrow \tilde{\alpha} - \gamma\epsilon$ と変更した空間を張り付ければよい

二つの計量の違い

$r = -\epsilon$ が $\tilde{r} = 0$ と一致して、この座標で $\tilde{r} = 0$ のとき $\varphi k = 1$ となるように座標を取り直す

重力検知面 S 近傍で面直交に座標を取る

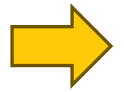
$$ds^2 = \varphi^2 d\tilde{r}^2 + g_{ab} dx^a dx^b$$

張り付けた空間の計量 ($r < 0$)

$$d\bar{s}^2 = \frac{1 - 2 \exp\left(-\frac{r_0}{2}\right)}{1 - 2 \exp\left(-\frac{\tilde{r} + r_0}{2}\right)} \exp(\tilde{r}) \varphi_0^2(x^a) dr^2 + \exp(\tilde{r}) g_{0,ab}(x^a) dx^a dx^b$$

$=: \bar{\varphi}^2$ $=: \bar{g}_{ab}$

$\tilde{r} = 0$ (接続面) において $\varphi = \bar{\varphi} (= \varphi_0)$ $g_{ab} = \bar{g}_{ab} (= g_{0,ab})$ $k = \bar{k}$



$\tilde{r} = 0$ 近傍において滑らかな関数 Φ, T と滑らかなテンソル h_{ab} を用いて (ただし、 $g^{ab} h_{ab} = 0$)

$$\varphi - \bar{\varphi} =: 2\tilde{r} \varphi \Phi \qquad g_{ab} - \bar{g}_{ab} = \tilde{r}^2 T g_{ab} + \tilde{r} h_{ab} \qquad \text{と表せる。}$$

二つの計量の違い

$r = -\epsilon$ が $\tilde{r} = 0$ と一致して、この座標で $\tilde{r} = 0$ のとき $\varphi_k = 1$ となるように座標を取り直す

重力検知面 S 近傍で面直交に座標を取る

$$ds^2 = \varphi^2 d\tilde{r}^2 + g_{ab} dx^a dx^b$$

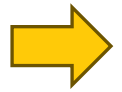
張り付けた空間の計量 ($r < 0$)

$$d\bar{s}^2 = \frac{1 - 2 \exp(-\frac{r_0}{2})}{1 - 2 \exp(-\frac{\tilde{r} + r_0}{2})} \exp(\tilde{r}) \varphi_0^2(x^a) dr^2 + \exp(\tilde{r}) g_{0,ab}(x^a) dx^a dx^b$$

$=: \bar{\varphi}^2$

$=: \bar{g}_{ab}$

$\tilde{r} = 0$ (接続面) において $\varphi = \bar{\varphi} (= \varphi_0)$ $g_{ab} = \bar{g}_{ab} (= g_{0,ab})$ $k = \bar{k}$



$\tilde{r} = 0$ 近傍において滑らかな関数 Φ, T と滑らかなテンソル h_{ab} を用いて (ただし、 $g^{ab} h_{ab} = 0$)

$$\varphi - \bar{\varphi} =: 2\tilde{r} \varphi \Phi \qquad g_{ab} - \bar{g}_{ab} = \tilde{r}^2 T g_{ab} + \tilde{r} h_{ab} \qquad \text{と表せる。}$$

ここで、のりしろの計量として

$$d\check{s}^2 = \check{\varphi}^2 d\tilde{r}^2 + \check{g}_{ab} dx^a dx^b \qquad \check{\varphi} = \bar{\varphi} \left(1 + \frac{d}{d\tilde{r}} F_1^2(\tilde{r}) \Phi \right) \qquad \check{g}_{ab} = \bar{g}_{ab} \left(1 + T F_1^2(\tilde{r}) \right) + F_2(\tilde{r}) h_{ab}$$

$$F(\tilde{r}) := \tilde{r} f(\tilde{r}) \quad \lim_{\tilde{r} \nearrow 0} f(\tilde{r}) = 1, \quad \lim_{\tilde{r} \searrow -\tilde{\epsilon}} f(\tilde{r}) = 0, \quad \lim_{\tilde{r} \nearrow 0} f^{(n)}(\tilde{r}) = \lim_{\tilde{r} \searrow -\tilde{\epsilon}} f^{(n)}(\tilde{r}) = 0,$$

$$O(\tilde{\epsilon}) < (F_1^2)'' \leq 2 \quad O(\tilde{\epsilon}) \leq 2(F_2^2)'' - (F_2')^2 \quad \tilde{\epsilon} \ll \epsilon \quad \text{としておくと } r \cong 0 \text{ で元の空間に}$$

$r = -\epsilon$ で作った空間に滑らかに接続される
(f は具体的な関数を示すことでその存在が示せる)

のりしろ部分の曲率

$\tilde{\epsilon} \ll \epsilon$

$$d\check{s}^2 = \check{\varphi}^2 d\check{r}^2 + \check{g}_{ab} dx^a dx^b \quad \check{\varphi} = \bar{\varphi} \left(1 + \frac{d}{d\check{r}} F_1^2(\check{r}) \Phi \right) \quad \check{g}_{ab} = \bar{g}_{ab} \left(1 + T F_1^2(\check{r}) \right) + F_2(\check{r}) h_{ab}$$

$O(\tilde{\epsilon}) < (F_1^2)'' \leq 2$

$O(\tilde{\epsilon}) \leq 2(F_2^2)'' - (F_2')^2$

$\tilde{r} \text{ は } -\tilde{\epsilon} \leq \tilde{r} \leq 0$

曲率を計算すると

$$\begin{aligned} {}^{(3)}\check{R} &= \frac{(F_1^2)''}{2} {}^{(3)}R|_{\check{r}=0} + \underbrace{[2(F_2^2)'' - (F_2')^2 - \frac{3}{2}(F_1^2)'']}_{\geq 0} \underbrace{\left(\frac{1}{2\check{\varphi}} h_{ab} \right)^2}_{\geq 0} \Big|_{\check{r}=0} + [2 - (F_1^2)''] \gamma \epsilon k^2 |_{\check{r}=0} + O(\tilde{r}) \\ &\geq \min({}^{(3)}R|_{\check{r}=0}, 2\gamma \epsilon k^2 |_{\check{r}=0}) + O(\tilde{\epsilon}) \end{aligned}$$

$O(\epsilon)$ のstrictに正な量

➡ 十分小さい ϵ に対し ${}^{(3)}\check{R}$ は常に正。

まとめ（リーマン・ペンローズ不等式の一般化）

極小曲面が非連結
の場合にも適用可能

Thm: リーマン-ペンローズ不等式 (Huisken, Ilmanen(2001), Bray(2001)) **高次元化** (Bray, Lee(2009))

3次元多様体 (M, g) : 完備、滑らか、非負曲率 ($R \geq 0$)、漸近平坦、ADM質量 m
 ∂M は漸近平坦な無限遠と一番外にある極小曲面 S からなる。
このとき、極小曲面 S の面積 A は $A \leq 4\pi (2m)^2$ を満たす。

等号成立は空間が
シュバルツシルト解
(球対称ブラックホール解)
の時間一定面に等しいときのみ

Thm: 重力検知面の面積不等式 (Izumi, Tomikawa, Shiromizu, Yoshino (2021))

3次元多様体 (M, g) : 完備、滑らか、非負曲率 ($R \geq 0$)、漸近平坦、ADM質量 m
 ∂M は漸近平坦な無限遠といくつかの境界 N からなる
すべての境界 N は、パラメータ α の重力検知面で囲われる

以下のような面が存在しない

- 1、重力検知面の外に存在する境界を持たないコンパクトな極小曲面
- 2、重力検知面に境界を持ち、面積が $4\pi(2m)^2$ 以下になる極小曲面

このとき、重力検知面の面積 A は $A \leq 4\pi \left(\frac{3+4\alpha}{1+2\alpha} m \right)^2$ を満たす。

等号成立は空間が
シュバルツシルト解 (球対称ブラックホール解)
の時間一定面に等しいときのみ

